# Statyuahr N3BECTИЯ

АКАДЕМИИ НАУК АРМЯНСКОЙ ССР

Sthubyuuuu арыльфальшьгр исгри СЕРИЯ ТЕХНИЧЕСКИХ НАУК

theyur

ÉPEBAH

#### SUPERFURERS SHIPSON

հատցան Մ. Վ. (պատ. խմբագիր), Ադոնգ - Տ. (պատ. խմբ դրի տեղա - - Ալեքսնեսկի Վ Վ. Անանյան Ա. Կ., Գուոյան Տ. Ա. Զայոյան Մ. Ա., Նազաւով Ա. - Տեւ-Ազաւն Ե. Ա., Փինասյան Վ. Վ. (պատ. խմբագրի տեղակալ) - Պատասիանատու բարասողար Ստեփանյան Զ. Կ.

#### РЕДАКЦИОННАЯ КОЛЛЕГИЯ

Касьян М. В. (ответ редактор), Аденсевский В. В., Ананян А. К. Гороли Т. А. Задоли М. А. Назаров А. Г. Пинаомян В. В. (эвм. ответ, редактора), Тер-Азарьев И. А. Ответственный секретарь Степанян З. К.

вигранциней заведьй привод. 1. Ирперия фид. 13. Апрес релакции: Ереван—1, ул. Абоняна, 15. Shuthhadas apanap, obeha XXV, No 3, 1972

Серия технических наук

ЭНЕРГЕТИКА

### г. т. адонц

# К ИССЛЕДОВАНИЯМ СХОДИМОСТИ И СКОРОСТИ ИТЕРАЦИИ В РАСЧЕТАХ ЭЛЕКТРИЧЕСКИХ РЕЖИМОВ ЭПЕРГОСИСТЕМЫ

Для решения системы пелиненных и трансцендентных уравнений. которыми описываются установившиеся режимы энергосистемы, используются [1:5] методы итерации и различные его модификации (метод Гаусса с ускоряющими коэффициентами, метод Ньютона-Рафсона, метод с обращением матрицы параметров уравнений и др.).

Независимо от методов решения этих уравнений, имеют место случан несходящихся итераций или сходящихся к физически нереализуемым решениям, в частности, в расчетах режимов, близких к предельным по устойчивости.

В этой связи проблема сходимости итерации и расчетах установившихся режимов энергосистем продолжает служить объектом исследованин [6]. Задача сходимости итерации непосредственно связывается также с вопросом обеспечения определенной скорости расчета для лимения нужной точности наи допустимой невизки между заданными и получениыми в результате расчета величинами.

Исследования сходимости и скорости итерации и расчетах установившихся режимов ряда эпергосистем, проводимые в Арм, НИИ энергетики, ноказали, что сходимость и скорость итерации зависят от целого ряда факторов. К их числу относятся, например, следующие.

Представление параметров системы коэффициентами уравнений узловых напряжений или матрицей У многополюжника (узловых проводимостей).

Задание режима генераторных узлов системы величинами P и Q(активные в реактивные мощности) или Р и U (модуль напряжения). Решение исходных уравнений методами простой итерации или Гаусса. или методами с использованием ускоряющих итерацию коуффиниситов. Весьма нажным представляется также применение способов, обеспечивающих сходимость итерации к точке, находящейся в области заданных параметров искомого режима.

Предлагаемый алгоритм расчета и программа, реализующая его на ЭВМ «Урал 14Д», позноляют вести не только расчет установившегося режима системы, но и исследовать процесс сходимости итерации и ее скорость с целью определения влияния изложенных факторов на расчет режима данной ехемы энергосистемы.

С помощью данного алгоритма можно выполнить также ряд вычислительных экспериментов и исследований, связанных с проблемой сходимости итерации при решении системы нелинейных алгебранческих и трансцендентных уравнений, встречающихся в различных областях техники.

Постановка задачи. Принимаются ладанными: а [Y]-матрица коэффициентов уравнении узловых напряжений схемы замещения системы или  $[Y_{****}]$ -матрица, эквивалентная предыдущей, представляющая собственные и взаимные комплексные проводимости генераторных и нагрузочных узлов системы, общим числом N. Эту матрицу называют также Y-матрицей многополюсника. Для матриц [Y] и  $[Y_{****}]$  принято также общее название матриц узловых проводимостей.

б. Разбиения множества узлов N многополюсника  $N=\{1,\ 2,\dots,n\}$  на два подмножества  $(N_1,\ N_1)$  и  $(N_I,\ N_m)$ , обладающие следующими снойствами:

$$N_{\alpha} = N_{\alpha} = N_{\alpha}$$
 ecan  $x \in N_{\alpha}$ ,  $3 = N_{\alpha}$ , to  $x \in S_{\alpha}$ ,  $N_{f} = N_{m} = N_{\alpha}$  ecan  $f = N_{f}$ ,  $m \in N_{m}$  to  $f < m$ 

- в. Величник  $\{P_{a}^{0}\}$ ,  $\{Q_{t}^{0}\}$ , активной мощности, фаз напряжений, реактивной мощности и модулей напряжений соответственно узлов a,  $\beta$ , f, m.
- г. Начальные значения величин  $\{Q_n^0\}, \quad \{P_n^0\}, \quad U_n^0\}, \quad [Q_m^0],$  нодлежащих определению.
- д. Нижняя и верхняя границы изменения искомых модулей напряжений  $U_\ell^{\rm one}$ .  $U^{\rm one}$  для узлов  $f \in N_\ell$ .
- е. Числа  $q_{\tau}$ ,  $q_f$ , используемые для ограничения величив приращений  $\Delta c_{\tau}$ ,  $\Delta U_f$  искомых неизвестных  $\phi_{\tau}$ ,  $U_f$  в процессе итерации.

Согласно принципу сжатых отображений 0 < q < 1,  $0 < q_f < 1$ .

- ж. Величина  $\varepsilon(P_n)$ , используемая в качестве критерия прекращения процесса итерации.
- з. Числовые значения  $K_{\bullet}=0,\ 1,\ 2\dots$  соответствующие кратности вовторения расчетов на каждом из четырех этапов  $s=1,\ 2,\ 3,\ 4$  расчета, из которых слагается каждый цикл итерации.

Принимаются искомыми: величины  $\{\phi_n\}_{n\in\mathbb{N}}P_n$ ,  $\{U_f\}_n$   $Q_m$  соответственно для узлов  $a, \, b, \, f, \, m$ .

Для величин, получаемых в t-м шаге втерации, используются обозначения:  $P_{ij}^{0}, U_{B}^{0}, Q_{ij}^{0}$ 

Уравнения и выражения, вспользуемые в данном алгоритме. В качестве основных здесь используются уравнения  $[^{*}]$ , в которых принимаются независимыми переменные  $\{P_{*}\}, \{\Psi_{0}\}, \{U_{m}\}, \{U_{m}\}, \{Q_{m}\}, \{U_{f}\}, \{Q_{m}\}, \{$ 

Величины  $\{U^{\mu}\}$  должны находиться в заданных гряницах, определяемых неравенствами

где тіп и тах видексы нижней и верхией грании.

Приращения искомых неличии 4, и  $U_f$  в двух последовательных шагах итсрации обозначим через

$$\Delta V_i = V_i - \psi_i^{i-1}$$
 if  $\Delta U_i^i = U_i^i - U_i^i$  .

Очевидно, в качестве  $\Phi^{l-1}$  и  $U_l^{l-1}$  в первом (i-1) -шаге итерании должны быть взяты запаваемые начальные значения этих переменных, т. е.  $\Phi^0$  и  $U_s^0$ .

m-нормы векторов  $|\Delta x|$  и  $|\Delta U_f|$ , определяемые после первого шага итерации, обозначим через

$$M_{\pi} = \max_{\pi} |\delta_{\pi}^{l-1} - \delta_{\pi}^{l-0}|,$$
  $M_{f} = \max_{f} |U_{f}^{t-1} - U_{\ell}^{t-0}|.$ 

Взамен *и*-нормы могут быть использованы *k*-нормы этих векторов, которые вычисляются соответствение по формулам:

$$M_{\pi} = \prod_{q \in N} \frac{\sum_{q \in N} |\psi_{q}^{f-1} - \psi_{q}^{f-0}|^{2}}{\|\psi_{q}^{f-1} - \psi_{q}^{f-0}\|^{2}}; \tag{1}$$

$$M_f = \frac{\sum_{i} |U_f^{i-1} - U_f^{i-1}|^2}{\sum_{i} |U_f^{i-1} - U_f^{i-1}|^2}.$$
 (2)

Фазы напряжений исех узлов, т. е. з и р, приводятся к отсчету по изменяемому в каждом шаге итерации значению фазы напряжения балансирующего узла согласно следующим формулам:

$$\psi = \psi_k^t - \psi_0^t, \qquad k \in \mathcal{N}$$
 (3)

где

$$\psi_6^I = \frac{1}{2} \left( \psi_{\text{max}}^I + \psi_{\text{min}}^I \right), \tag{4}$$

у<sub>пох</sub>, у<sub>пів</sub> наибольшее и наименьшее значення у из числа всех у, полученных после расчета в первом шаге итерации, и всех у заданных в качестве известных нараметров режима.

б-индекс узла баланса системы.

Невязки активных  $\Delta P^{T}$  и реактивных  $\Delta Q^{T}$  мощностей узлов и f носле T-го шага итерании определяются по формулам;

$$\Delta P^I = P^0 - U_a^I \sum U_k^I C_a^I \qquad (5)$$

$$\Delta Q_j = Q_j^* - U_j^* \sum_{i \in S} U_i^* S_{ji}^*, \quad f \in N_f$$
 (6)

где

$$C_{ab}^{l} = \mathcal{L}_{ab} \cos \left( \dot{\gamma}_{a}^{l} - \dot{\gamma}_{b} \right) - b_{ab} \sin \left( \dot{\gamma}_{a}^{l} - \dot{\gamma}_{b} \right), \tag{7}$$

$$S_{ls}^{i} = g_{fk} \sin \left(\psi_{l} - \psi_{l}\right) + b_{fk} \cos \left(\psi_{l}^{i} - \psi_{k}^{i}\right). \tag{8}$$

 $P^{n}$ ,  $Q_{i}^{n}$  — заданные параметры режима;

g, b заданные нараметры многополюсника.

 $\delta M$ , и U — приросты, обеспечивающие ускорение итерации при расчетах  $\psi_{i}$  и  $U_{f}$ .

$$\left[\frac{\partial P_{\xi}}{\partial \dot{\gamma}_{s}^{l}}\right] \cdot \left[\delta \dot{\gamma}_{s}^{l}\right] = \left[\Delta P_{\tau}^{l}\right];$$
 (9)

$$\left[\frac{\partial Q_a}{\partial U_f^i}\right] \cdot \left[\delta U_f^i\right] = \left[\Delta Q_a^i\right]. \tag{10}$$

гле с - строчный индекс, пробегающий значения «;

p — индекс, пробегающий значения f;

z, f = индексы столбцов;

 $\frac{\partial P_{\rm c}}{\partial \mathcal{P}_{\rm c}}$ ,  $\frac{\partial Q_{\rm s}}{\partial U^{\rm t}}$  — чястные производные, вычисляемые согласно [7];

 $\Delta P^{t},\ \Delta Q^{t}$  — невязки, определяемые по формулам (5)  $\div$  (8) с соответствующей заменой индексов

Взамен уравнений (9) и (10), обеспечивающих нахождение 32 и в результате их совместного решения, могут быть использованы следующие формулы (11) и (12), обеспечивающие вычисления и 32 и острочным уравнениям систем (9) и (10).

$$\delta \varphi_{\varepsilon}^{i} - \frac{1}{\partial P_{\varepsilon}^{i}} \left( \Delta P_{\varepsilon}^{i} - \sum_{\substack{s \in X_{a} \\ a = \varepsilon}} \frac{\partial P_{\varepsilon}}{\partial \psi_{s}^{i}} \Delta \psi_{s}^{i} \right);$$
 (11)

$$\partial U_{i}^{I} = \frac{1}{\frac{\partial Q_{0}}{\partial U_{0}^{I}}} \left( \Delta Q^{I} - \sum_{\substack{i \in A_{I} \\ I = 0}} \frac{\partial Q_{i}}{\partial U_{i}^{I}} \Delta U_{i}^{I} \right) , \tag{12}$$

где  $\Delta P$ ,  $\Delta U^i$  — приращения искомых величин  $\phi_a$  ( $a=N_a$ ) и  $U_f(f=N_f)$  и двух последних шагах итерации.

В надачах с n-1 неизвестными  $\psi_{+}$  и  $U_{f}$  могут быть использованы и следующие уравнения для определения приростов  $\delta\psi_{+}^{f}$  и

$$\begin{bmatrix} \frac{\partial P_c}{\partial \psi^l} & \frac{\partial P_c}{\partial U^l_c} \\ \frac{\partial Q_c}{\partial U^l} & \frac{\partial Q_c}{\partial U^l_c} \end{bmatrix} \begin{bmatrix} \frac{\partial \psi^l_c}{\partial u} \\ \frac{\partial U^l}{\partial u} \end{bmatrix} \begin{bmatrix} \frac{\partial P_l}{\partial u} + \sum \frac{\partial P_c}{\partial u} \Delta U^l \\ \frac{\partial Q_c}{\partial u} + \sum \frac{\partial Q_c}{\partial U^l_d} \Delta U^l \end{bmatrix}$$
(13)

Система (13) из двух уравнений с неизвестными  $\{\delta \psi_i\}$  и  $\delta U_i$  решается для всех значений  $c = N_{\kappa}$  ,  $c < \delta$ .

Ускоренные значения искомых величин  $\{\mathcal{P}^{t,ye}\}$ . Определя-

ются согласно (14) и (15).

$$\psi_a^i, y^c = \psi_a^i + \delta \psi_a^i. \tag{14}$$

$$U_{i}^{\text{tot}} = U_{i} + iU_{i}, \quad f \in N_{f}, \tag{15}$$

где (%), (11) — приросты, найденные в результате решения (9), (10) или (13) в каждом т-м шаге итерации.

Величины приращений  $\{\Delta \psi^i\}, \{\Delta U_i^i\}$  и приростов  $\{\psi\psi^i\}, [\psi U_i^i]$  согласно условиям теоремы в сжимающем отображении. Должны бытыменьше соответственно величии  $q^iM$  и  $q^iM$  ,  $\tau$ , e.

$$|\Delta \phi_n^i| \leqslant q_n^{i-1} M_n , \qquad \alpha \in N, \tag{16}$$

$$|2\psi_n^i| \ll q_n^{i-1} M \quad , \quad \alpha \in \mathcal{N}_n \tag{17}$$

$$|\Delta U| \leqslant q_f^{t-1} M_A \qquad f \in N_f \tag{18}$$

$$|^{2}U_{f}^{t}| = q^{t-1} M_{f}, \quad f \in N_{f}$$

$$\tag{19}$$

где (i-1) -показатель степени, равный номеру шага итерации —1;  $M_i$ ,  $M_f$  —пормы векторов;

 $q_s$  ,  $q_f$  числа в пределах 0,90 — 0,99, заданяемые в качестве исходной информации.

В качестве критерия для прекращения итерации рекомендуется величния

$$\epsilon = P = P(-1), \quad \epsilon = 0.05 \div 0.10.$$
 (20)

Кроме использования в пропессе итерации указанных формул, после завершения итерации выполняется ряд вычислительных операций, связанных с определением токов  $I_k$ , их фаз  $T_k$  для всех узлов  $k \in \mathbb{N}$ , а также величин потерь активной  $\pi$  и реактивной  $\pi$  мощностей

$$I_k = \frac{1}{U_k} \sqrt{P_k^2 - Q_k^2} \ . \tag{21}$$

$$\gamma_k - \gamma_k - \gamma_k$$
, rise  $\gamma_k = \operatorname{arctg} \frac{1}{P_k}$ . (22)

Разбиение алгоритма расчета на отдельные этапы. Предлагаемый алгоритм слагается из четырех этапов расчета, в именно: первый этап — расчеты  $\psi_{i}$ ; второй расчеты  $\delta\psi_{i}$ ; третий расчеты  $U_{f}$  и четвертый — расчеты  $\delta U_{f}$ . Допускается возможность — кратного повторения каждого из этих этапов расчета, путем задания в программе иначений  $K_{b}=0,\ 1,\ 2,\ \dots$  где  $\theta=1,\ 2,\ 3,\ 4$  — индекс указанных четырех этапов расчета.

Возможные схемы итерации. Путем подбора различных значений 0, 1, 2, . . . , для коэффициентов  $k_1 + k_4$  можно получить различные

скемы итсрации. Эти скемы могут быть условно обозначены следующим образом:

a) exema 25, 5, 55, 65, 0.0. Coorbetctbyet:  $k_1 = 2$ ;  $k_2 = 2$ :  $k_3 = 2$ :

б) схема  $\pi^{1}$ , l Соответствует:  $\frac{1}{2}$  1;  $k_{0}$  0  $k_{x}$  1;  $k_{z}$  0;

в) схема  $\lambda b$ ,  $\lambda U^{2}$ . Соответствует:  $k_{1} = 0$ ;  $k_{2} = 1$ ;  $k_{3} = 0$ ;  $k_{4} = 1$ , и т. д.

На базе таких ехем итерации легко выполнить исследования сходимости итерации.

Предлагаемые схемы итерации могут быть использованы также для исследований еходимости итерации при решении различных задач, описываемых системой из большого числа пелинейных алгебранческих и трансцендентных уравнений.

Программа, реализующая алгоритм. Алгоритмы, соответствуюшие отдельным из возможных схем итерации, например, схемам: 🥒 U: 4, 4, 30, 4 UU были реализованы при помощи программ расчетов на ЭВМ "Урал-3".

Разработана также программа расчета на ЭВМ «Урал-14Д».

В программе предусматриваются следующие возможности расчета режимов электрических систем.

а. Используется вектор (уз.) 0, 1, 2, 3, где в 1, 2, 3, 4 вилекс этапов расчета.

Выбор значения 🦠 = 0 означает, что для решения уравнений в э-м этапе расчета используется компактиая схема Гаусса.

Соответственно, у = 1 означает, что в э-м этапе расчета используется циклический процесс Зейделя.

При — 2 уравнения решаются путем простой итерации.

При у, 3, где з 2,4 используются строчные уравнения (11) и (12) для получения величин W и W где  $C \in N$  ,  $y \in N_f$ .

- 6. Используется вектор = 6,  $f = 1 \div 7$ , каждый из его компонентов означает:
- (1. если и этапах  $\beta=1$ , 2 выбирается норма k, 0, если в  $\beta=1.2$  выбирается норма m. 1. если в  $\beta=3.4$  выбирается норма k. 0, если в  $\beta=3.4$  выбирается норма m. 1. если перед расчетом следует вычислить  $|Y_{\text{вип}}|$ , 0, если не следует вычислять элементы матрины
- [1, если этапы 2,4 совмещаются, т. е. используются (20), 0, если этапы 2 и 4 не совмещаются, т. е. не используются (20).
- [1, если расчеты ведутся на базе матрицы [У<sub>зкв</sub>],
   [0, если расчеты ведутся на базе [У] узловых напряжений.

Составлена математиком—программистом О 11 Солоненко.

- 1, если используются экстракоды с плав. занятой (мантисса—40, порядок 8).
- = 0) 0, то же, мантисся 24, порядок 8
  - 11, если используется арифм, устройство с ил, зит. Y=345, 0, если используется  $AY\Phi$  с фиксированной запятой.

многоплановый машинный эксперимент по расчету электрических установившихся режимов энергосистем.

## Выволы

- 1. Сходимость и скорость итерации и расчетах электрических режимов энергосистем зависит от целого ряда факторов. К их числу относятся: выбор матрицы проводимостей уравнений узловых напряжений или матрицы проводимостей многополюсника; выбор методов Паусса, простой итерации, Пьютона-Рафсона, предлагаемой в статье модификации последнего) при решения системы уравнении фаз и модулей комплексных напряжений; последовательность и кратность решения отдельных систем уравнений: учет ограничений параметров режима и т. а.
- 2. Предлагаемый алгоризм и программа, реализующая его на ЭВМ «Урал—14Д», позволяет выполнять машинный эксперимент и исследования задачи сходимости и скорости итерации при расчетах электрических режимов эпергосистем.

АРМ ПИИНЭ

Поступило 20, 111, 1972,

#### 2. S. UANTS

ԷննԻԳԱՀԱՄԱԿԱՐԳԵՐԻ ԷԼԵԿՏՐԱԿԱՆ ՌՈԺԻՄՆԵՐԻ ՀԱՇՎԱՐԿՆԵՐՈՒՄ <u>ԻՏԵՐԱՑԻԱՅԻ ԶՈՒԳԱՍԻՏՄԱՆ ԵՐ ԱՐԱԳՈՒԹՅԱՆ ՀԵՏԱԶՈՏՈՒԹՅՈՒՆԵՐԻ</u> ՎԵՐԱԲԵՐՅԱԼ

# Անփոփում

Սի այս էներգա ամակարդերի հաստատված ռե իմների հաշվարկները, որոնը կատարվել են Հայկական էներդետիկայի դիտահետազոտական ինստիտուտում, ցույց են տվել, որ իտերացիայի արագությունը և դուդամիտումը կախված են մի շարբ գործոններից։ Հոդվաժում առաջարկվում է ուլղորիքին և ծրագիր, կաղմված «Ուրալ- 14 Դ էլեկտրոնային հաշվի։ մեջենայի համար, որը Յարավորություն է ընձևոնում կատարել մերենայական էրապերիմենտ և Լներդահամակարդերի էլեկտրական ռեժիմների հաշվարկումնեսում իտերաւնուլի դուսանիաման ու արագության դնդիրների՝ հատգոտություն։

#### JHIEPALYPA

- 1. Ward J. B., Hale H. W. Digital computer solution of power-flow problems, Power Apparatus and Systems\*, 1955, Dec. 321.
- Glimn A. F., Stogg G. W., Automatic calculation of load-flow. Power Apparatus and Systems\*, 1957, okt. № 32.
- Круми Л. А. Применение методи Ньютона-Рафсона для расчета станионарного режима сложных электрических систем, «Известия АН СССР. Энертетика и тринспорт», 1965, № 5.
- 4. Качанова Н. А. Электрический расчет сложных мергосистем на ЭЦВМ. Киев, «Темника», 1966.
- 5. Адонц Г. Т. Алгоритм расчета установившегося режима «нергосистемы с учетом пелипейных характеристик генераторов и пагрузок «Электричество», 1970, № 2
- Адонц Г Т О сходимости птерации к единственному решению в расчетах установив шихся режимон электрической системы. «Известия АП СССР. Энергетика и гранспорт», 1971. № 3
- 7. Адонц Г. Т. Многополюеник. Изд. All Apm. ССР, 1965.

Посывание принци, выгра XXV, № 3, 1972 Серия технических наук

электротехника

R. C. BPORMAIL K. C. JEMHPUSH, C. J. HIMNTEP

# МОДЕЛЬ ВИБРАЦИИ АСИНХРОННОГО ЭЛЕКТРОЛВИГАТЕЛЯ

Очевидна важность разработки мер по снижению инбраций электрических машин, вызванных производственными дефектами. особенно в свете впедрения ГОСТ 16921 71 (Машины электрические. Пормы вибрации). Для устранения значимых составляющих вибрации пвобходимо выявление их источников, т. с. вибродиагностика. Поскольку спектр является не только исчернывающей характеристикой вибрации. но и причин, ее порождающих, для виброднагностики важно установление связи характеристик дефектов с соответствующими им спектральныин составляющими.

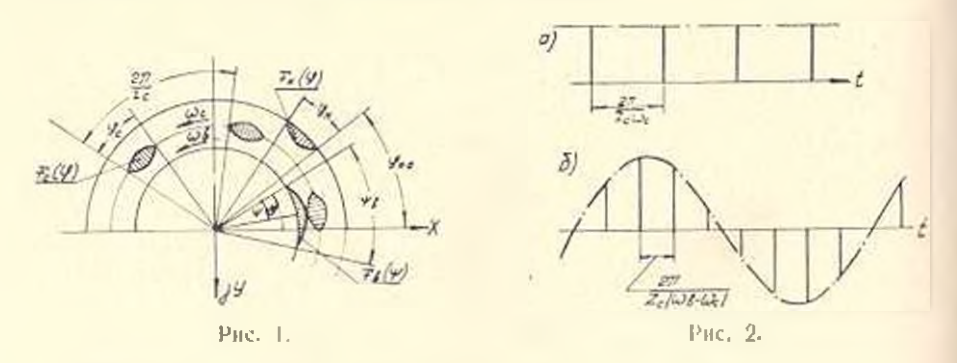
Вибрация корпуса аспихронной электрической машины на подшилниках качения возбуждается анизотронней воздействия на ротор и статор вращающихся силовых элементой систем полюсов и шаров. Поскольку магнитные полюсы и шары в сепараторах вращаются асинхронно относизельно ротора, здесь возможен единробразный подход на основе рассмотрения взаимодействия аспихронного силового элемента а. с. э (полюсы, шары) с дефектами ротора (некруглости бочки ротора, желобов внутренних колец полиниников) и статора (некруплости расточки статора, наружных колец).

Силовой элемент, имеющий  $Z_t$  полюсов (шаров), характеристику снаового поли  $F_c(\phi)$  протяженностью — и вращающийся со скоростью от относительно неподвижной системы координат ху (рис. 1), взаимодействует с вращающимся (виутренним) дефектом, имеющим характеристику  $F_n(\phi)$  протяженностью  $\psi_n$  в связанной с ним вращающейся со скоростью от системе координат, и или с неподвижным (наружным) дефектом, имеющим в системе xy характеристику  $F_{a}(z)$ протяженностью эп и начальный угол эко.

Необходимо установить зависимости спектров вертикального (у) и горизонтального (х) вибродатчиков от характеристик дефектов и а. с. э. Примем вначале простейший характер взаимодействий - дефекты и полюсы сосредогочены, г. с.  $\gamma_n$  ,  $\gamma_n = \frac{2\pi}{r}$  и могут рассматриваться как 4-функции. Тогла взаимодействие а. с. э. с. дефектами характеризуется произведениями площадей  $F_{\mathfrak{p}}$  и или  $F_{\mathfrak{p}}$   $F_{\mathfrak{p}}$ причем, для выявления соотношения амилитуд-спектральных состав-

ляющих ражен лишь относительный масштаб этих величии.

Взаимодействие а. с. э. с иеподвижным дефектом в этом случае приводит к последовательности импульсов (решетчатой функции [1]) с частотой повторения  $Z_{c}\omega_{c}$  (рис. 2,a). Вибрации по осям координат х. у получаются умножением этой последовательности на совр<sub>во</sub> и  $-\sin\varphi_{no}$ , соответственно, т. е. отличаются только по амплитуде. Спектр гакой последовательности [2] является гармоническим с амплитудами, равными для всех составляющих (частотой  $kZ_{c}\omega_{c}$ , гле k=1, 2, 3...) и равными амплитуде исходных импульсов.



Взаимодействие а, с. э, с вращающимся дефектом приводит в вращающейся системе координат к носледовательности импульсов по рис.  $2_{cl}$ , по с частотой повторения  $Z_{cl}$   $\omega_n$  — , а в неподвижной системе координат вибрации по осям x и у получаются умножением этой последовательности на  $\cos \omega_n t$  и —  $\sin \omega_n t$ , соответственно (рис. 2.6). Спектр такой амплитудно-модулированной последовательности импульсов [2] также характеризуется равными амплитудами всех составляющих, но уже на частоте вращения  $\omega_n$  и на боковых частотах  $kZ_{-\omega_n}$  —  $\omega_n$  причем, амплитуды составляющих равны половине амплитуды импульсов исходной последовательности. При этом вибрании по осям x и у для всех составляющих спектра славнуты между собой на угол =l2

Таким образом, воздействие вращающегося лефекта сволятся к набору вращающихся векторов вибрации, а неподвижного дефекта—к набору пульсирующих и направлении фио векторов. Этот вывод, впрочем, очевиден, так как вращающийся дефект не имеет какого-либо преимущественного направления воздействия в неподвижной системе координат: при возникновении же такой анизотропии, связанной с появлением неподвижного дефекта, круговое поле вибрации деформируется в эллиптическое и в пределе (только сосредоточенный неподвижный дефект) вырождается и пульсирующее.

В приведенных рассуждениях линамическая система принималась безынерционной. Если, в первом приближении, полагать динамическую систему линейной и изотропной в пространстве, то спектры по осям х и у должны умножаться на передаточную функцию  $W(f_0)$  системы. Произлюстрируем это на простейшем примере взаимодействия одного

сосредоточенного полюса (с единичной площадью) с распределенным вращающимся дефектом. Очевидно (рис. 1), элементарное движение вдоль осижсистемы с весовой функцией h(t) при воздействии полюса на угле 4 можно записать как

$$dx = F_{\rm B}(\psi) \cdot d\psi \cdot \cos(z - \psi) \cdot h(\tau), \tag{1}$$

где = время, отсчитываемое от момента этого элементарного воздействия.

Принимая при t :0 ș = b =0 и подставляя в (1)

$$\sigma = \omega_n t$$
,  $|\omega_n - \omega_c| t$ ,

движение x(t) выразим интегралом свертки

$$x(t) = |\omega_n - \omega_c| \int_0^t F_n \left[ |\omega_n - \omega_c| (t - \tau)| \cdot \cos \omega_c (t - \tau) \cdot h(\tau) d\tau. \right]$$
 (2)

При замене  $F_{\rm B}$  на  $F_{\rm L}$  и  $\omega_{\rm B}$  = 0 выражение (2) характеризует движение при взаимолействии с неподвижным дефектом.

Интеграл свертки в области Фурье-изображений (спектрон) может быть представлен произведением спектров [2], т. е. спектр вибрании по оси х равен спектру спроектированной на эту ось силы, умноженному на перелаточную функцию  $W(j_m)$ . Учитывая иннейность Фурье-преобразования и линейность системы, этот вывод не изменится при рассмотрении воздействия всех полюсов.

Однако при учете протяженности дефектов и полюсов ( $\varphi_n$ ,  $\varphi_n$ , сиектры спроектированного на оси x, у взаимодействия  $F_n$ ,  $F_e$  (или  $F_n$ ,  $F_e$ ) суммированием (интегрированием) только но временной области получить не удается, приходится рассматривать бесконечные суммы спектров последовательностей импульсов, представляющих собой кусочно-непрерывные, обычно почти-периодические функции временя. Поэтому приходится вычислять спектры в два этапа: вначале интегрированием в пространстве для пеизменного t находятся функции  $F_y(t)$ , а затем их фурье-преобразованием определяются спектры.

Рассмотрим первый этап. В комплексной форме

$$\overline{F}(t) = F_{x}(t) + jF_{y}(t) = \int_{0}^{2\pi} F_{x}(\varphi, t) \cdot F_{x}(\varphi, t) \cdot F_{x}(\varphi, t) \cdot \cos\varphi \cdot d\varphi - j\int_{0}^{2\pi} F_{x}(\varphi, t) \cdot F_{x}(\varphi, t) \cdot F_{x}(\varphi, t) \cdot \sin\varphi \cdot d\varphi.$$
 (3)

Так как  $F_n$  и  $F_n$  определены только в пределах ():  $2\pi$ , то (3) не изменится при переходе к пределам 0:  $\pi$  и. следовательно. (3) пред-

ставляет собой Лапласово (L-) преобразование произведения  $F_n F_c F_a$  при параметре s-j:

$$\overline{F}(t) = \int_{0}^{\infty} F_{0} F_{c} F_{b} e^{-f_{0}} dz = \int_{0}^{\infty} F_{0} F_{c} F_{b} e^{-f_{0}} dz = L(F_{0} F_{c} F_{a})_{(a)}.$$
 (4)

L-преобразование произведения функций равно комплексной свертке их изображений [3]. Даже для характеристик дефектов простейшего вида двойной интеграл свертки в комплексной области получить в компактной форме не удается. Эта задача решается последовательным численным интегрированием на ЦВМ, а здесь для анализа упростим ее

Будем рассматривать взаимодействие дефекта в виде полуволны свиусонды с системой сосредоточенных полюсов (рис 3. а). Такое

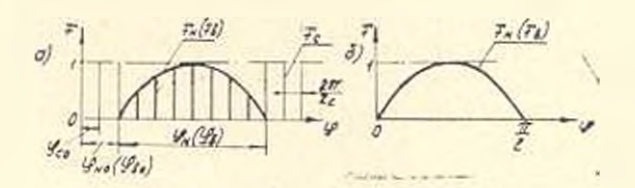


Рис. 3.

представление для шарикоподшинников а многополюсных машин достаточно хорошо согласуется с реальностью и позволяет, с другой стороны, применить эффективный анпарат дискретного (Д-) преобразования Лапласа для смещенных решетчатых функций [1]. Выражая протяженность дефекта в долях (Д-1, 2, 3 ....)  $\pi$  радиан (рис. 3,6) и представляя начальные смещения как функции времени

получаем (см. Приложение) зависимости, позволяющие анализировать влияние протяженностей дефектов и числа полюсов на комплексный спектр F(t). Здесь еще раз подчеркием существенность последовательности операций: следует вначале осуществлять проектирование (3), (4) взаимодействий и далее рассматривать их спектральное разложение, а не производить спектральное разложение дефекта с последующим проектированием взаимодействий спектральных составляющих дефекта с а. с. э. на координатные оси, что [4] приводит к существенно вным результатам.

Для пеподвижного дефекта получаем

$$\overline{F}_{n}(t) = \sum_{k=-\infty}^{\infty} C_{k} e^{-fk\omega_{k}} Z_{k}^{-t}, \qquad (5)$$

где комплексные амилитулы  $C_k$  определяются по (П.18). Таким образом, вектор  $F_{\rm H}(t)$  силового воздействия неподвижного дефекта

представляется в виде гармонического ряда эллипсов вибрации. большие полуоси которых равны

$$|C_{+k}| + |C_{-k}|$$
,

и остальные параметры также однозначно характеризуются прямым  $C_{-k}$  и инверсным  $C_{-k}$  векторами на каждой из частот их вращения  $Z_{\epsilon}$ . Постоянная составляющая воздействия определиется неподвижным вектором  $C_{\epsilon}$ .

Для вращающегося дефекта разложение  $F_n$  (t) можно было бы получить из выражения (П.14) с учетом (П.7), однако проще и наглядиее силовое воздействие вращающегося дефекта представить как неподвижного во вращающейся со скоростью  $\mathbf{e}_n$  системе координат по рис. 1, т. е. вместо (5) записать

$$F_{n}(t) = \sum_{k=0}^{\infty} \left| Z_{c} t \right| e^{-j\omega_{B} t}. \tag{6}$$

Таким образом, вектор  $F_n$  ( $\ell$ ) представляется набором векторов верхних боковых частот ( $kZ_+|\omega_n|+\omega_c|$ ) с амилитудами прямых векторов  $|C_-|\omega_n|$  и нижних боковых частот ( $kZ_+|\omega_n|-\omega_c|-\omega_n$ ) с амилитудами инверсных векторов  $|C_-|\omega_n|$ , а также вектором на частоте вращения ротора  $|\omega_n|$  с амилитудой постоянной составляющей воздействия  $|C_0|$ .

Злесь следует отметить, что учет протяженности дефектов не вносит дополнительных частот в спектр вибраций, найденный ранее из анализа воздействия сосредоточенных лефектов, но поаволяет выявить соотно шения между амплитудами составляющих спектра применительно к задаче различения дефектов. Однако модель, учитывающая взаимодействие неподвижного и пращающегося протяженных лефектов, поэволяет обнаружить и некоторые повые частоты и спектре, например, центральные частоты  $kZ_{\rm c} |_{\Theta_{\rm b}} = \omega_{\rm c}|_{\rm c}$ .

Принятая в анализе форма дефекта в виде полуволны сипусонды представляется наиболее общей: оченидно, что пользуясь изложениой п приложении методикой, аналогичные результаты могут быть получены и для других аппроксимаций дефекта, например, прямоугольной, треусольной, пилообразной формы.

# Приложение

L - изображение одиночного дефекта  $F(\gamma)$  (рис. 3,6) имеет вид:

$$f(s) = L(F(z)) = L\left(\sin lz + \sin l\left(z - \frac{z}{l}\right)\right) = \frac{1}{z^2 - l^2}\left(1 - e^{-l^2}\right). \tag{17.1}$$

Учет смещения на угол  $\varphi_{00}(\varphi_{00})$  соответствует умножению выражения (П. 1) на  $e^{-\varphi_{00} s}$ .

При дискретном Лаплясовом преобразовании лефекта

$$f^{s}(s) = D(F(n)) = \sum_{n=1}^{\infty} F(n)e^{-sn}$$
 (11.2)

номеря отсчетов (n = 0, 1, 2, 3, ...)

$$n = \frac{\varphi}{2\pi} Z_c = \frac{\varphi}{\omega_c} \tag{11.3}$$

гле  $=\frac{2^{-}}{2}$  частота (или период повторения) решетчатой функции, если номера отсчетов и считать безразмерным дискретным временем (т. е.  $\varphi = -n = \omega_{\rm c} t$ ).

Для того, чтобы (П.2) соответствовало F(t) по (4), необходимо по-прежнему умножать F на е<sup>-/9</sup>, г. е. в (П.2) брать  $s=j\omega_c$  [вместо s=j в (4)], "Частога" лефекта соответственно будет:

$$\overline{\omega} = l\overline{\omega}_{e} = 2\pi \frac{1}{2} \quad (\tau, \quad e, \quad \sin l z = \sin \omega n). \tag{\Pi.4}$$

Смещения в безразмерной форме выразятся следующим образом:
— начальное смещение дефекта

$$S_{70}^{2} = j_{70}^{2} = j_{70}^{2} + j_{70}^{2} \lambda \,, \tag{11.5}$$

гле для неподвижного дефекта

$$i_{\rm H} = \frac{2m_0}{\omega_e} - \frac{2m}{2\pi} Z_{\rm H} \tag{\Pi.6}$$

а для вращающегося дефекта

$$L_{\rm B} = \frac{\gamma_{\rm ini}}{\omega_{\rm c}} \qquad \frac{\gamma_{\rm ini}}{2\pi} \tag{\Pi.7}$$

смещение а. с. э. (решетчатой функции)

$$s_{\varphi_{co}}$$
 (11.8)

the 
$$\varepsilon = \frac{\omega_c t}{\omega_c} = \frac{\omega_c Z_c}{2\pi} t < 1$$
 (II.9)

(т. к. взаимодействие повторяется с периодом  $\omega_c$ ); смещение, обеспечивающее переход от синусонды к одиночному импульсу (П.1)

$$= s = \frac{\pi}{j} j = j \,\overline{\omega}_{c^{2}}, \tag{\Pi.10}$$

the 
$$\tau = \frac{Z_c}{2I}$$
 (II.11)

Для перехода от 1-изображения (П.1) к 10-изображению сме-

щенной решетчатой функции [1] вместо (П.2) следует записать

$$f^*(s,e) = \sum_{n=0}^{\infty} f(n+e)e^{-sn}. \tag{17.12}$$

Однако искомое в соответствии с (1) выражение

$$F(t) = \sum_{n=0}^{\infty} F(n+\varepsilon) e^{-s(n+\varepsilon)} \Big|_{s=f_{\omega_c}} = e^{-s\varepsilon} f^*(s,\varepsilon) \Big|_{s=f_{\omega_c}}, \quad (\Pi.13)$$

т. е. D-изображение дефекта, следует умножать на оператор сдвига  $e^{-\alpha}$ , поскольку  $\widetilde{F}(t)$  определено в неподвижной, а не поворачиваемой вместе с решеткой [1] системе координат.

Пользуясь правилами и таблицами [1] прямого D-преобразоваиня, из (П.13) с учетом (П.1) и (П.4) -- (П.11) получаем

$$\overline{F}(t) = F_1 - \overline{F}_2 \tag{11.14}$$

$$F_{i} = \begin{cases} e^{-j\frac{\pi}{m}} \frac{\sin \omega (1 + z - (i - |i|)) + e^{-j\frac{\pi}{m}} \sin \omega ((\lambda - |i|) - z)}{-2e^{j\frac{\pi}{m}} c \cos \omega + 1} \cdot e^{-j\frac{\pi}{m}} \exp(-2e^{j\frac{\pi}{m}} c \cos \omega + 1) \\ e^{j\frac{\pi}{m}} c \sin \omega (z - (i - |i|)) - \sin \omega (1 - z - (i - |i|)) \\ e^{2j\frac{\pi}{m}} c \cos \omega + 1 \end{cases}$$

при 
$$|a| = |b| \le \varepsilon \le 1$$
 (ГІ.15)

$$\tilde{F}_{n} = \vec{F}_{1} |, \qquad (\Pi.16)$$

знаком | обозначается целая часть числа.

F(t) изменяется периодически при изменении  $\varepsilon$  от 0 до 1. повтому для комплексных коэффициентов  $C_k$  ряда Фурье [3] в принятой во рис. 1 системе координат можно записать:

$$C_{k} = \int_{0}^{1} \overline{F}(\varepsilon)e^{jk2\varepsilon}d\varepsilon$$

$$= \int_{0}^{1-|\lambda|} F_{1}(\varepsilon)e^{jk2\varepsilon}d\varepsilon - \int_{0}^{1} \overline{F}_{2}(\varepsilon)e^{jk2\varepsilon}d\varepsilon - \int_{0}^{1} \overline{F}_{2}(\varepsilon)e^{jk2\varepsilon}d\varepsilon.$$

$$(f1.17)$$

После интегрирования и подстановок (П.3), (П.4), (П.6) и (П.11) для неподвижного дефекта окончательно получаем:

$$G_k = \frac{lZ_c}{\pi [I^2 - (kZ_c - 1)^2]} \cos \frac{\pi (kZ_c - 1)}{2I} e^{\hbar i Z_c - 1 (i \pi_{pol} + \frac{\pi}{2I})}$$
, (П.18)

При возникновении неопределенностей типа  $\frac{1}{t}$  (например, при t-1 и k=0) следует применять обычные методы их раскрытия.

Поступпло 20, 11, 1972.

BIL. U. PPAQUING, G. U. ABUPPABRA, H. I. BUAPSOP

## ԱՊԱՍԻսԽՐՈՆ ԷԼԵԿՏՐԱՇԱՐԺԻՉԻ ՎԻՐՐԱՑԻԱՅԻ ՄՈԴԵԼ

## Ամփոփում

Դիտված է ապասինիսրոն էլեկտրաշարժիչի վիրրացիայի սպեկտրը, որն առաջանում է դնդիկավոր առանցքակալների և «ռոտոր-գաշտ-ստատոր» սիստեսի Բերուքելունների պատ առով։ Կիրառելով էապլասի գիսկրետ վերափոխումները, բացաքակտված է սպեկտրի (վիբրացիայի էլիպսի չարմոնիկ շար ւթ) կախումը Բերուքելան պարամետրներից։

#### JI H T E P A 1 Y P A

- 1. Цыпкин Я. ... Теория инвейных импульсных систем Физматтиз, 1963.
- 2. Харкевич А. А. Спектры в инялиз. Физматгиз, 1962.
- Леч Г. Руководство к практическому применению преобразования Лапласа Изд-во «Наука», 1965.
- 4 Писарчик Р. И., Харлилиов С. А. Спектральный анализ реакцый разнальноупорного шарикового подшинника, обусловленных лефектами колен и шариков. «Изв. АН СССР Механика твердого тела», 1971. № 1.

MANUAL ghinnip, utchii XXV № 3, 1972

Серия технических наук

МАШИНОСТРОЕНИЕ

## к м егишян, ю л. саркисян

# СТЕРЖНЕВЫЕ МЕХАНИЗМЫ ДЛЯ ВОСПРОИЗВЕДЕНИЯ сложного движения объекта

В работе палагается общий способ образования кинематических схем механизмов, посарон водящих сложное двужение объекта Приводятся также основные ехемы пространственных и плоских стержневых механизмов, осуществляющих криволинейнопоступательное движение объекта. Далее описываются некоторые современные прииспения исследуемых механизмов. Рассматриваемые механизмы, управляющие перемещением объекта, коротко булут названы перемещающими

## § 1. Структурный синтез перемещающих механизмов.

Чтобы управлять посредством стержневых механизмов перемещевием объекта (веломого шатуна) в пространстве, необходимо найти такие точки или лишии его, различные положения которых удовлетворяют условиям связи присоединенных к объекту звеньев и кинематических ценей, Звено, входящее и кинематические пары с объектом и стойкой, назовем двихнарным звеном.

Различные типы кинематических ценей и двухнарных эвеньев пакладывают разные условия связи на движение объекта. Ниже для простоты будут рассмотрены только гакие механизмы, в которых каждое условие связи осуществляется посредством двухпарного звена

Различным сочетанием инэших кинематических пар, а именно: вращательных, поступательных, цилиндрических, сферических сферических с пальцем и прорезью, соответствуют тринадцать видов двухцарных звеньев, схемы которых сведены в табл. 1. Все двухпарные звенья подразделены на четыре рода в зависимости от числа условий связи, палагаемыми ими. В табл. 1 приводятся аналитические выражения условий связи, представляющие собой уравнения определенных геометрических мест точек или прямых объекта в неподвижной системе координат. Ниже излагаются определения условий связи для рассматриваемых двухпарных звеньен.

Если звено с двуми сферическими парами удерживает точку В объекта на поверхности сферы с центром в неподвижной точке А, то знено с цилиндрической и сферической парами обеспечивает движение

Ta6.	шца	i
------	-----	---

_			1 tto.tuna 1	
Вид	Род	Условные обозначения	Выражения условин связи	
1	2	3	4	
j	level .	A x B C H	1) $ \vec{r}_B - \vec{r}_A  = l_{AB} = \text{const.}$ (1)	
2		A POR	1) $ a + (a - r_A) $ $= d = \text{const.}$ (2) 1.11 $= d$ — расст. точки $B$ от оси $A$ ; $= u$ — направл. вектор оси $= 4$ .	
3		A A TOTAL A A TO	1) cm. (1); 2) $u \cdot (r_B - r_A)$ const. (3)	
4		A No	1) см. (1): 2) $n \cdot N = 0$ , (4) где $\bar{n}$ и $N$ - направл. векторы осн нальца и нормали к плоскости при- рези.	
5	II	D B N R	1) cm. (2); 2) cm. (4).	
6		A A A A A A A A A A A A A A A A A A A	1) г. — г.м. г. а. где М—точка перессчения траектории гочки В д.д. с плоскостью хОу; г-скалярная переменная величина.	

# Таблица 1 (продолжение)

1 2	3	4
7 11	A A A A A A A A A A A A A A A A A A A	1) $\frac{a \cdot b}{ a  \cdot  b }$ совы const; (6) 2) $\frac{ (r_B - r_A)ab }{ a \cdot b }$ $d$ const. (7) где $d$ -кратчайшее расстояние между осчин 1 и $B$ .
8	A B B H N	2) г см. (5): 3) см. (4).
9 111	D Z B B B B B B B B B B B B B B B B B B	1) cm. (6): 2) cm. (7). 3) $[(r_B = \hat{r}_A) \times \hat{a}] \cdot (\hat{a} \times \hat{b})$ const. (8)
10	Z B K B	1) см. (6); 2) см. (7); 3) (r-rn)(a b) 0. (9) гле г раднус-нектор произвольной точки плоскости движения оси В.
11 11	DE RESTRICTION OF THE PROPERTY	1) CM (6); 2) CM (7); 3) $(rB-rA) = const;$ (11) 4) $(rB-rA) \cdot b = coss$ (11)

Таблица / (продолжение)

1	2	3	4
12	IV	D B H	1) cm. (6); 2) cm. (7); 3) cm. (5).
13		Z 6 R N'	1) см. (6); 2) см. (7); 3) см. (9); 4) $\vec{N}' \cdot \vec{a} = \text{const},$ (12) где $\vec{N}' = \text{нормаль к произвольной плоскости } \vec{K}'$ объекта.

точки B объекта по поверхности цилиндра, ось которого совнавает с осью цилиндрической пары A.

Звено с вращательной и сферической парами обеспечивает движение точки B объекта по окружности, представляющей собой линию перссечения сферы раднуса AB и плоскости, проходящей через точку B и перпендикулярной оси вращательной пары A

Все двухнарные звенья, содержащие сферическую нару с нальцем (см. виды 4, 5, 8), накладывают одно дополнительное условие связи, а именно: одна из прямых на объекте, проходящая через центр сферы (ось пальца), при движении должиз оставаться в плоскости прорези.

Звено с поступательной и сферической нарами обуславливает движение точки B объекта по прямой, нараллельной оси поступательной нары A.

Звено с двумя цилнидрическими парами обеспечивает постоянство угла и расстояния между осями кинематических пар А и В. Двухпарвые звенья остальных пяти видов можно рассматривать как звено с двумя цилиндрическими парами, в которых дополнительно исключены те или другие движения объекта. Так, например, звено с цилиндрической и вращательной парами исключает движение вдоль неподвижной оси

При звене с поступательной и пилиндрической парами исключена возможность поворота вокруг неподвижной оси. Следовательно, геометрическое место возможных положений оси пилиндрической пары В представляет собой плоскость, нараллельную оси поступательной пары А.

Звено с двумя вращательными парами не допускает поступательные движения вдоль осей кинематических пар 4 и B, а звено с двумя поступательными парами пращательные движения вокруг этих осей.

Таблица 2

Таблица 2		
Hox- rpynna	Состав механизмов	Кинематические схемы перемещающих механизмов
1	S <sub>1</sub> =5	
11.	$S_1=1$ $S_2=2$ $HAH$ $S_1=3$ $S_2=1$	
ш	S <sub>1</sub> =2 S <sub>3</sub> =1	
IV	$S_4=1$ $S_4=1$	
V	S <sub>2</sub> =1 S <sub>3</sub> =1	

Наконец, при авене с поступательной и вращательной парами не представляется возможным вращательное движение относительно оси B объекта.

Следует отметить, что подобные выражения условий связи двухпарных звеньев и кинематических цепей получены Россом и Ченом [1] Эти уравнения ими использованы для проектирования пространственных механизмов.

Непосредственная задача структурного синтеза перемещающих механизмов, оченидно, состоит в образовании их структурных схем путем присоединения к свободному объекту определенной совокупности двухнарных звеньев. Числа двухнарных звеньев, входящих в состав искомого одноводнижного механизма, должны удовлетнорять следующему равенству:

$$1 - 6 - 1S_1 - 2S_2 - 3S_3 - 4S_4 = 6 - \sum_{k=1}^{n} kS_k, \tag{1}$$

где  $S_k$ —число двухилриых звеньев k-го рода. Равенство (1) можно привести к виду

$$5 = S_1 + 2S_2 - 3S_3 - 4S_4 = \sum_{k=1}^{4} k S_k. \tag{2}$$

Из уравнения (2) следует, что наибольшее число двухнарных звеньев и составе перемещающих механизмов равно пяти и соответствует оно случаю соединения двухнарных звеньев только первого рода. Максимальные числа двухнарных звеньев второго, третьего и четвертого родов равны:  $S_{2max} = 2$ .  $S_{3max} = S_{4max} = 1$ .

Варьируя числами двухпарных звеньев, в соответствии с (2) можно получить все возможные схемы перемещающих механизмов. В зависимости от того, какие двухпарные звенья входят в состав перемещающих механизмов, последвие разделены на пять подгрупи (табл. 2).

В первую полгруппу вошли механизмы с двухпарными звеньями только первого рода, при разных сочетаниях которых получаются шесть различных схем. Во вторую полгруппу вошли 45 механизмов, образованные двухпарными звеньями первого и второго родов. Механизмы третьей подгруппы состоят на двухпарных звеньев первого и третьего родов (9 механизмов). В четвертую подгруппу вошли 15 механизмов, солержащие двухпарные звенья второго и третьего родов. Наконец, последняя подгруппа образована шестью механизмами со звеньями первого и четвертого родов.

На базе найденных кинематических ехем путем наложения дополнительных геометрических условий можно получить стержневые механизмы, воспроизволящие плоскопараллельное или сферическог движение объекта. Например, присоединия к объекту два двухпарных звена четвертого рода со вращательными парами, оси которых параллельны, получаем плоский четырехшарнирный механизм, а при пересечении этих осей в одной точке— сферический четырехзвенник.

В табл. 2 приведены по две схемы из каждой подгруппы.

# § 2. Образование структурных схем стержневых механизмов, воспроизводящих поступательное движение объекта

1. Пространственное поступательное движение. При решении ряда техинческих задач требуется параллельный перенос платформы через заданные позиции в пространстве или многократное воспроизведение

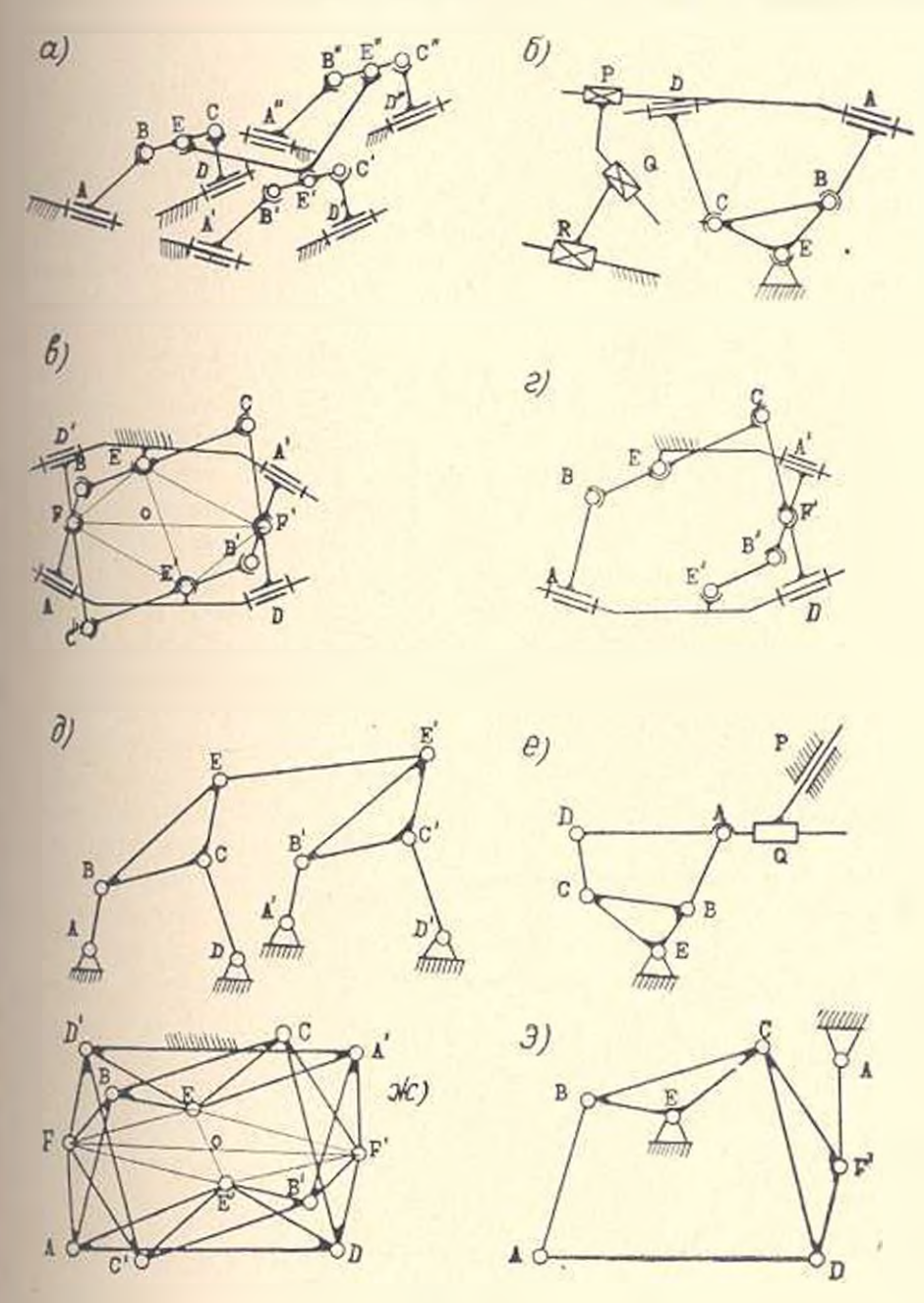


Рис. 1.

заданной кривой. В подобных случаях структурный синтез сводится к образованию кинематических схем механизмов, воспроизводящих поступательное движение шатуна. Для осуществления пространственного поступательного движения достаточно обеспечить перемещение любых трех точек его, не лежащих на одной прямой, по конгруентным траекториям. С этой пелью упранляемый объект посредством сферических пар Е. Е'. Е' можно соединить с соответствующими точками шатунов трех одинаковых пространственных четырехзвенников. АВСД, А'В'С'D' в А"В'С"D" (рис. п.) В результате получается одиниалцатизвенный пространственный механизм.

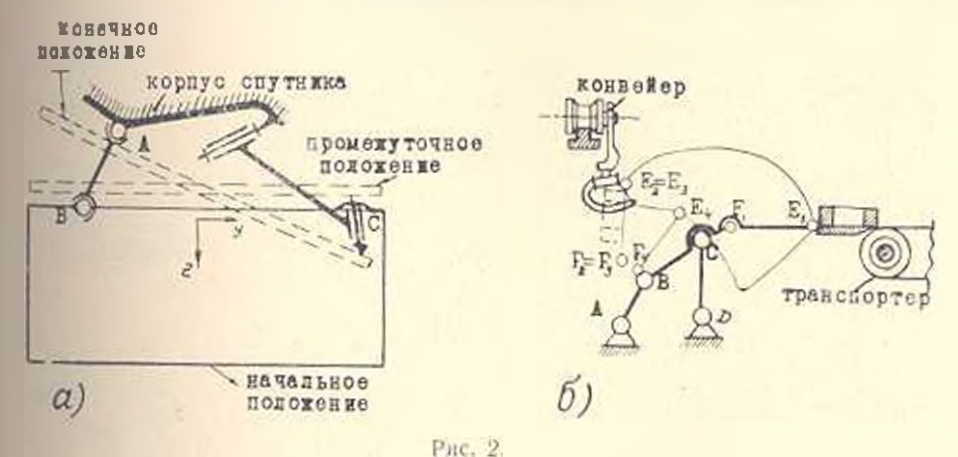
Данную задачу можно решить и ниым путем, а именно: к объекту присоединяется пространственный четырехзвенник *ABCD*, который обеспечивает требуемую граскторию поступательного движения, а попороз объекта вокруг неводвижных координатных осей исключается с помощью кинематической цепи *PQR* с поступательными нарами (рис. 1, б).

Однако большое количество авеньев в первом механизме и наличие поступательных нар во втором ограничивают возможность их практического применения. Теорема, доказанная в раболе [2], позволяет шарипрным соединением звеньев пространственного четырехзвенних ABCD и его симметрии A'B'C'D' получить однонодвижный восьмизвенный механизм с поступательным движением AE'D (рис. 1, в). Так как механизм содержит нассивные условия связи, то без нарушения подвижности от механизма можно отсоединить любое из звеньев B'C', A'B', C'D', получая таким образом семизвенные механизмы, в которых шатуя AE'D движется поступательно по шатунной кривой точки E четырехзвенника A'B'C'D'. Один из этих семизвенников показан на рис. 1,  $\phi$ 

2. Илоское поступательное движение. Для плоского поступательного движения объекта достаточно перемещать любые две точки его по плоским конгруентным кривым (рис. 1, д) или же исключить возможность поворота объекта относительно оси, перпендикулярной плоскости лижения (рис. 1, е). В работе [3] доказывается аналог приведенной выше теоремы для случая плоского движения. Плоский восьмизвенник, соответствующий утверждению теоремы и полученный при произвольном расположении чертящей точки Е на шатуне, изображен на рис. 1, ж. Как данный восьмизвенник, так и произволные шестизвенные механизмы, образованные отсоединением двухзвенных неассуровых кинематических испей С'Е'В'F'A', В'Е'С'FD', СF'DA'В' и ВАFD'С', обеспечивают поступательное движение звена АЕ'D по траектория точки Е' четырехзвенника А'В'С'D'. На рис. 1,3 изображен одян из указанных шестизвенников.

# § 3. Современные применения перемещающих механизмов

Первые примеры практического применения стержневых перемещающих механизмов относятся еще ко второй половине прошлого века, Отметим, например, известную «стопоходищую» машину Чебышева. Идея ее основывается на определенном подобии симметричной шатупной кривой лямдаобразного механизма Чебышева к трасктории авижения конца ноги животного относительно его корпуса. Однако витерес к стержиевым направляющим механизмам во-настоящему



поэрос в последние годы в связи с использованием их в космической пехнике, автомобильных подвесках, биомеханических устройствах, специальных станках, сельхоэтехнике и г. д. Ниже описываются некоторые характерные применения стержненых перемещающих механизмов в различных областях современной техники. Спачала на примерах рассмотрим применение стержненых механизмов для воспроизведения сложного движения объекта.

Для установки солиечных панелей на орбитальных спутникъх Уилсоном [4] синтезирован пространственный четырехзвенный механизм АВСО (рис. 2, a), при номощи которого осуществляется движение влоской панели длиной 150 см и шириной 60 см, пначале лежащей в илоскости, определяемой уравнением х 0, в положение, определяемое волорогом на 90 вокруг оси у, а затем поворотом на 36 52 вокруг оси х.

В вспомогательных цехах прокатного производства для транспортировки катушек использован [5] плоский четырехзвенный механизм ABCD (рис. 2, 6). Плоскость шатупа EF проходит через заданные положения  $E_1 = E_2 F_2$ ,  $E_3 F_3$ . Катушки, подаваемые ленточным транспортером, поступают на горизонтальную плоскость шатупа (положение  $E_1 F_1$ ), затем проводятся в положение  $E_2 I_1$  и подвешиваются на крючок конвейсра.

Еще оольшее распространение нашли шариирные механизмы с поступательным движением шатупа. Во избежание больших ударных нагрузок и деформаций осей при передвижении по перовной местности представляется псобходимым [6] подрессоривание колес прицепных тележек. С этой целью колеса соединяются с осью через промежуточные

шариирные устройства (рис. 3, а), допускающие прямолинейное движение колес в плоскости, перпендикулярной направлению поступательного движения тележки.

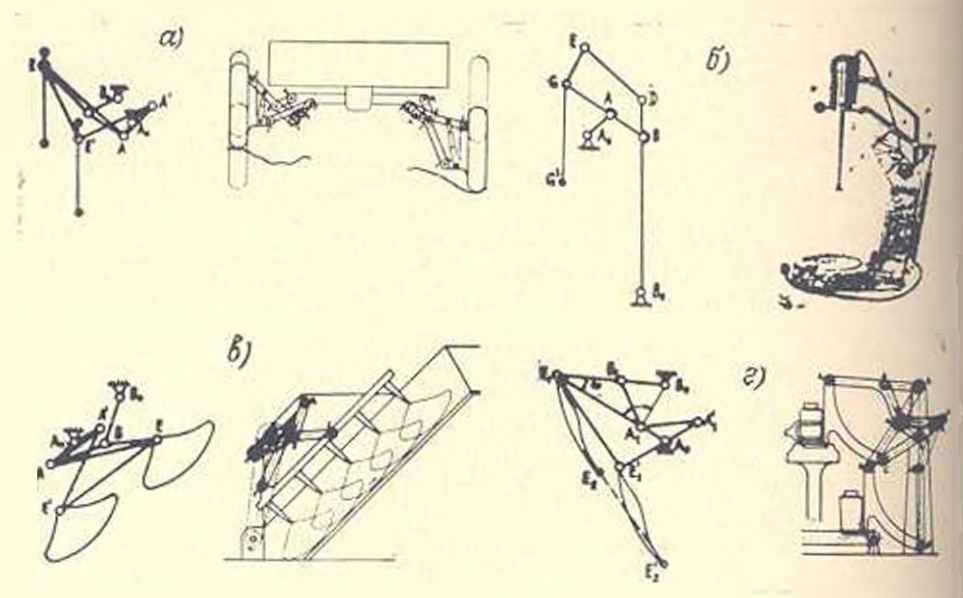


Рис. 3.

Для перемещения головки сверлильного станка (рис. 3, 6) применен шестизвенный рычажной механизм, что значительно облегчает и удещевляет станок, так как позволяет отказаться от массивных литых направляющих (электромотор А) прикреплен к точкам G и E прямолицейно движущегося веломого явена направляющего механизма).

С помощью шестизвенного шаринриого механизма обеспечивается конгруситное кринолинейное движение несущих зубцов наклонного транспортера (рис. 3, в). Требуемые размеры и форма траекторий выполняются соответствующим полбором соотношений между размерами базисного четырехавенника  $A_0ABR_0E$ .

На рис 3, в изображены кинематическая и полуконструктивная ехемы транспортера резервуара жидкости. В данным случае поступательное движение съемника резервуара гребуется для осуществления параллельного перемещения линии поверхности жидкости.

Ереванский политехнический институт им. К. Маркса Поступило 7.VII.1971

#### Կ. Մ. ԻՂԻՇՑԱՆ ՅՈՒ, Լ. ԱԱՐԴՍՑԱՆ

## <del>ՕՐՏԵԿՏԻ ԲԱՐԳ ՇԱՐԺՈՒ</del>Մ ՎԵՐԱՐՏԱԳՐՈՂ <u>Ծ</u>ԾԱԿԱՅԻՆ ՄԵԽԱՆԻԶՄՆԵՐ

## Blafdinding if

Հոգվածում առաջարկվում է տանող օդակի բարդ շարմում վերաբատգրող ապրածական և հարք լծակային մեխանիզմների կինեմատիկական սխեմաների կինեմատիկական սխեմաների կառուցման ընդհանուր մեքող։ Բերվում են նաև շարժաքնի կորագիծ-հաժերնքաց շարժում իրականացնող հոդակապային մեխանիզմների հիմնական սխեմաները։ Վերջում նկարագրվում են այդ մեխանիզմների մի բանի ժամահականից կիրառությունները։

#### ЛИТЕРАТУРА

- Чен П., Росс Б. Расчетные уравнения для спитеза кинематических ценей по раздельным и бескопечно близким положениям «Конструнрование и технология чашиностроения», № 1, 1969
- 2 Саркисян Ю. И. О. некоторых спойствах и преобразованиях пространственного истырехавенника, «Изнестия Арм. ССР (серия Т. И.т., т. XXIII, № 5, 1970.
- 3. Сархисля Ю. Л. Пекоторые повы теоремы в преобразования на основе своиств симметрии в париирных мехапизмах. Материалы VI совещания по основным проблемам теории машии и мехапизмов, 1970, Лепинград.
- 4. Уилсон. Аналитический кинематический снитет меманиамов посредством конечных перемещения. «Конструпрование и технология машиностроения». № 2, 1965.
- Kunad G., Goetze R., Hanster H. Octriebtechnische Beispiele aus dem Walzwerksbillsmaschinenbau. "Maschinenbautechnik". N. 10, 1968.
- 6 Hain K. Erzeugung von Parallel-Koppelbeugungen mit Anwendungen in der Landtechnik. Grundlagen der Landtechnik\*, Heft 20, 1964.
- Volmer J. Gefenkmechanismen als Ersatz für Slittenführungen. "Maschinenbautechnik". 9, 1960. H. 6.

Серия технических вазк

#### МАШИНОСТРОЕНИЕ

## к. х. шахбазян. с. б. гаранян

## СИНТЕЗ ПРОСТРАНСТВЕННОГО ПЯТИЗВЕННОГО МЕХАНИЗМА ПО ИЗВЕСТНЫМ ДИСКРЕТНЫМ ПОЛОЖЕНИЯМ ШАТУИНОП ТОЧКИ

Необхозимость решения многих важных задач проекторования неполнительным механизмов для систем орнентации, космоческой техники, машин-автоматов и т. з. обусловила быстрое развитие теории спитеза пространственных механизмов.

Авторами работ [1]: [6] созданы основные положения пространственной кинематической геомотрии и решено несколько иллюстратичных задач. В работе [7] приведен синтез (методом кнадратического приближения) пространственного механизма для воспрои педения наданной пространственной кривой.

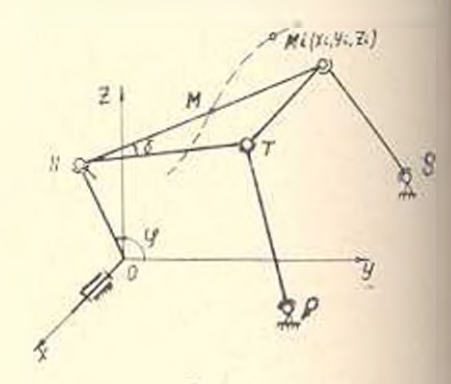
В настоящей статье предлагается способ интерполиционного синтеза пространсненного пятизненного механиями с четырыми сферическими, одной еферической в пальнем и отной пращательной царами по гаданным дискретным положениям готи! шатуна. В основе синтеза лежит обобщенное на пространственный случай основног расчетное ураниение роботы [8]

Постановка задачи. Пусть в системе хуг дано n точек  $M_{I(M_{Ir})}$   $M_{Iy}$ ,  $M_{Ir}$ )  $i=1,\ 2,\ \dots$  n. Требуется спроектировать пространственны

иятизвенный механизм (рис. 1), имеющий на шатуне гочку, траектория которой проходит через заданные точки  $M_i$ .

В общем случае поставленную задачу можно решить для n=7 (см., например, [3]). Ниже мы ограничимся решением задачи для n=5. При этом задаемся плоскостью и центром вращения шариной гочки H кривошина OH

$$H_z^2 + H_z^2 = b^2$$
 (1)



Puc. 1.

Обозначим длину отрезка  $M_tH_t$  через d. Параметры b и d необходимо выбрать так, чтобы на окружности (1) можно было отыскать точки  $H_t$  ( $H_{tx}$ ,  $H_{ty}$ ), соответствующие растояния которых до заданных точек  $M_t$  были бы постоянной величиной, равной d,  $\tau$ , e.

$$H_l M_l = d = \text{const.} (2)$$

Значения параметров b и d и зависимости от координат заданных точек  $M_1$  можно выбрать по условиям;

$$d > |\mathcal{M}_{t,x}|_{\text{max}}; \qquad 2(d+b) = a, \tag{3}$$

где a наибольшая из величии  $|M_{I_{X}}|_{\max}$  и  $|M_{I_{X}}|_{\max}$ 

Условия (3) являются необходимыми, но недостаточными для вуществования условия (2) и служат лишь для непосредственного выбора значения b и d. Далее эти значения проверяются по условию

$$(M_B + M_{ty}^2 - M_{tz}^2 + d^2 + b^2)^2 - (b^2(M_B + M_B^2) = 0.$$
 (4)

котороу является необходимым и достаточным для выполнения условия (2). После выборя b и d на системы

$$\frac{M_{tx}^2 + (M_{ty} - H_{ty})^2 + (M_{tz} - H_{tz})^2 - d^2}{H_{ty}^2 + H_{tz}^2 - b^2}$$
(5)

паределяем координаты точек  $H_I$ 

$$H_{ij} = \frac{\overline{v_i + y} \ \overline{v_j - m_i \varphi_{i,j}}}{2g_{i,j}} \tag{6}$$

rge

$$g_{ix}^2 = M_{iy}^2 + M_{ix}^2$$
 $g_i = M_{iy}(g_{ix}^2 + M_{ix}^2 + b^2 - d^2)$ 
 $g_i = M_{iy}(g_{ix}^2 + M_{ix}^2 + b^2 - d^2) - 4b^2 M_{ix}^2$ 

Имея  $H_{Iy}$ , по формуле

$$\cos \gamma_i = \frac{H_{iv}}{h}$$
 (7)

поределим углы ноклона кривонина. Из уравнения (1) определим величину  $H_{ij}$ . Направляющие косипусы прямых  $H_iM_i$  определим по формулам:

$$\cos i_l = \frac{M_{lx}}{d}; \quad \cos \beta_l = \frac{M_{ly} - H_{ly}}{d}; \quad \cos \gamma_l = \frac{M_{lx} - H_{lx}}{d}.$$
 (8)

Принимая, что илоскость прорези кинематической пары H и ось пальца соответственно перпендикулярны кривошипу OH и прямой HM, определим направляющие косинусы оси пальца:

$$\cos \alpha_{i} = \frac{\omega_{i}}{R_{i}};$$

$$\cos \beta_{i} = \frac{1}{R_{i}} \sin \beta_{i} \cos \alpha_{i};$$

$$\cos \gamma_{i} = -\frac{1}{R_{i}} \cos \beta_{i} \cos \alpha_{i}.$$
(9)

$$w_l = \cos \varphi_l \cos - \sin \varphi_l \cos - R_l$$

Париираме точки N и T шатуна определим соответственно на прямой HM и на прямой, лежащей на шатунной плоскости (плоскость, образованная прямой HM и осью пальца) и образующей с прямой HM некоторый постоянный угол  $\delta = \text{const.}$  Направляющие косипусы этой прямой определятся из системы:

$$\cos z_i^* \cos z_i - \cos z_i^* \cos z_i^* + \cos z_i^* \cos z_i^* = \sin \delta.$$

$$\cos z_i^* \cos z_i^* + \cos z_i^* \cos z_i^* + \cos z_i^* \cos z_i^* = \cos \delta.$$

$$(\cos z_i^*)^2 + (\cos^2 z_i^*)^2 + (\cos^2 z_i^*)^2 = 1.$$
(10)

Ниже мы определим только координаты гочки  $N_t$ , т. к. определение координат точки T можно произвести совершение аналогично.

S(x, y, z) ость точка пересечения плоскостей симметрии отрезков между точками  $N_t$ . Уравнения этих плоскостей (их число ва единицу меньше числа заданных прямых) можно представить в виде:

$$(N_{j,x} - N_{1x})(2x - N_{j,x} - N_{1x}) + (N_{jy} - N_{1y})(2y - N_{jy} - N_{1y}) + (N_{jz} - N_{1z}) = 0.$$
(11)

$$(j=2, 3, 4, 5)$$

Координаты искомой точки  $N_l$  через неизвестную длину  $l(l=-H_lN_l)$  и координаты точки  $H_l$  выражаются соотношениями:

$$N_{ix} = l\cos x_i;$$

$$N_{iy} = H_{iy} + l\cos 3_i;$$

$$N_{iz} = H_{iz} + l\cos \gamma_i.$$
(12)

Отметим, что длина t может принимать также отрицательные значения, означающие, что искомые точки лежат на той стороне от точки  $H_t$  которая соответствует отрицательному направлению прямой. Это объясияется тем, что если  $x_t$ ,  $y_t$ ,  $y_t$ ,  $y_t$ , наклона прямой  $H_tM_t$ , то  $180^{-1}$ ,  $y_t$ 

С учетом (12) уравнения (11) после преобразований можно представить в виде:

$$lB_j x - (C_j - lD_j)y - (Q_j + lF_j)z + lE_j = 0,$$
 (13)

где

$$C_{j} = H_{jy} - H_{1y};$$
  
 $Q_{j} = H_{jz} - H_{1z};$   
 $B_{j} = \cos \alpha_{j} - \cos \alpha_{1};$   
 $D_{j} = \cos \beta_{j} - \cos \beta_{1};$   
 $F_{j} = \cos \gamma_{j} - \cos \gamma_{1};$ 

$$E_j = H_{1v}\cos\beta_1 + H_{1z}\cos\gamma_1 - (H_{jv}\cos\beta_j + H_{jz}\cos\gamma_j).$$
  
(j=2, 3, 4, 5)

Для определения координат центра S(x, y, z) сферической пораности, на которой лежат точки  $N_l$ , уравнения (13) должны раститривать как одну систему. Эта система имеет определенное решевие, если

$$\begin{vmatrix}
B_{3} & C_{3} + ID_{2} & Q_{2} + IF_{2} & E_{2} \\
B_{3} & D & Q_{3} & IF_{3} & E_{3} \\
B_{4} & C_{1} - ID_{4} & Q_{4} + IF_{4} & E_{4} \\
B_{5} & C_{3} - ID_{3} & Q_{5} + IF_{4} & E_{5}
\end{vmatrix}$$
(14)

H r = 3.

где 4 определитель расширенной матрицы системы; г ранг матрицы

$$\begin{bmatrix} B_{1} & C_{1} & lD_{2} & Q_{1} & lF_{2}E_{2} \\ B_{2} & C_{2} & lD_{3} & Q_{4} & lF_{4}E_{4} \\ B_{4} & C_{4} & lD_{4} & Q_{4} & lF_{4}E_{4} \end{bmatrix}$$

Условие (14) приводится к уравнению

$$p_3 l^3 + q_1 l + k_3 = 0, (15)$$

что всегда имеет место, если

$$q: +p_3k_3 = 0.$$

Tae

Подствения кории уравнения (15) в любые три уравнения системы (13) и в уравнения (12) соответствению определим координаты x, y, z и  $N_{Iy}$ .  $N_{Iz}$  точек S и  $N_{I}$ . Длина веломого звена NS определится по формуле

$$NS = V (x - N_x)^2 - (y - N_y)^2 - (z - N_z)^2$$

Пример. В системе координат хуг лино пить точек  $M_1$  (0; 0,2; 0.4),  $M_2(0.5; 0.5; 1); M_1(0.3; 0.6; 0.6); M_1(0.4; 1; 0.8); M_5(-0.6; 1.1; 1.3), 3, TH, <math>N_1$  3

Требуется определить размеры и расположение пятизвенного направляющего механизма (рис. 1), шатунная точка которой проходит через данные точки.

По условиям (2) и (3) выбрано b=d-1. Для длян звеньев HN в HT и координат точек S, P и N. T (в первом положении) соответственно получены:  $t_1=-1.024939$ ;  $t_2=1.578302$ ;  $x_1=0.255864$ ;  $y_1=-1.005876$ ;  $z_1=0.773898$ ;  $x_2=-0.148982$ ;  $y_2=1.168704$ ;  $z_2=1.116294$ ;  $N_{1X}=0$ ;  $N_{1Y}=-1.767795$ ;  $N_{1Z}=0.877663$ ;  $T_{1X}=0.283131$ ;  $T_{1Y}=-1.046921$ ;  $T_{1Z}=0.702678$ . Длины ведомых звеньев NS и TP соответственно равкы: NS=0.810398; TP=0.919720.

ЕрГУ, ЕрИИ

Поступило 29, 1Х, 1971.

ч. ы. бидриязия, и. р. эприлана

# ՏԱՐԱԾԱԿԱՆ ՀԵԳՕՂԱԿ ՄԵԽԱԵՒԶՄԻ ՍԻՆԹԵԶԸ ԸՍՏ ՇԱՐԺԱՓԵԼԱՅԻՆ ԿԵՏԻ ՀԱՅՏՆԻ ԳԻՍԿՐԵՏ ԳԻՐՔԵՐԻ

## H. d din din i d

Հոդվա ում արադրվա է տարածական Ֆզօդակ մեկտակվել իրքեր ըստ շարժաքնային կետի նախապես Հայանի դիսկրետ դիրբերիլ Ցույց է արված, որ խնդիրը ընդհանուր դեպթում լուծելի է յոք դիրբի Համարւ իր դիրբի Համար ստացված է Տավասարում, որը սինիեղման դադրված նղանակի դեպրում Հանդես է դալիս որպես հիմնական Հաշվարկային Հավասարում։

#### ЛИТЕРАТУРА

- Уилион. Аналитический кинематический синтез механизмом посредством консчита перемещений Тр. американского общества ниженеров—механиков, серия В. № 2. 1965.
- Росс В. Кинематика движения через конечно удаленные положения. Тр. эмериканского общества инженеров-механиков, серии Е. № 1, 1967.
- Росс Б Теория конечных перемещений в применении к синтезу механизмов. Тр. американского общества инженеров-механиков, серия E<sub>в</sub> № 4, 1967.
- Су. Проектирование пространственных механизмон для управления перемещения твердого тели. Тр. американского общества ниженеров-механиков, серия В. № 3, 1968.
- Чен П., Росс Б. Расчетные уравнения для синтеза кипематических цепей во раздельным и бесконечно ближим положениям. Тр. американского общества инженеровмехаников, серия В, № 1, 1969.
- Чен П., Росс Б. Общая теория кинематического синтеза по раздельным и бескопечно близким положениям Тр. американского общества инженеров-механиков; серия В. № 1, 1969.
- 7. Тилл, Льюне Пространственный кинематический синтел. Тр. американского общества инженеров-механиков, серян В. № 3, 1968.
- Гаранян С., Шахбазян К. Применение преобразования Робертса-Чебышева при сшателе шариприого четырехзвенника. «Панестия АП Арм. ССР. Механика», № 2, 1971.

հետնիկական գիտութ, սերիա XXV: No.3, 1972

Серия технических паук

#### СТРОИТЕЛЬНАЯ МЕХАНИКА

### т. а. гороян, э. е. хачиян

# о сейсмостойкости многоэтажных каркасных ЗДАНИЙ С УБЫВАЮЩИМИ ПО ВЫСОТЕ ПОЭТАЖНЫМИ ЖЕСТКОСТЯМИ

Аналимруя частотные уравнения многоэтажных каркасных зданий с абсолютно жесткими ригелями при равенстве масс (т), сосредоточенных в уровнях перекрытий. и жесткостей этажей (а), нами в [1] была обнаружена диненная зависимость перподов спободных колебаний от этажности (п) и для определения периодов трех пизиких тонов свободных колебаций зданий высотой до 20 этажей предложена формула:

$$T_{\ell} = 2\pi \left( A_{\ell} + nB_{\ell} \right) \mathbf{m}^{\prime} \mathbf{a}, \tag{1}$$

гле  $A_{\ell}$  и  $B_{\ell}$  —безразмерные коэффициенты, зависящие от топа колебаний (r), и соответственно имеют значения: для 1 гона 0,367 и 0,633; для 11 тона 0,160 и 0,210. лля III тона-0,118 и 0,126.

овщьобово вэтов видемодей выпольной принавидентов в выпольной выпольной выпольной выпольной выпольной выпольный выстительный выпольный выпольный выпольный выпольный выпольный выстительный выпольный выпольны - лебяния многоэтажных - каркасных тланий с убывающими синлу вверх поэтажными жесткостями. Пришимая лицейный закон убывания поэтажных жесткостей, и формулу (1) введен корректия и она представлена и более общем виде

Или опенки общего инпряженного состояния таких зданий при сейсмических воздействиях, с использованием акселерограмм сильных землетрясений и ЭВМ времнали ипрованы упругие реаквии (response) конкретных 10-этажных зданий.

1. Периоды и формы свободных колебаний. Убывание жесткости этажа по высоте здания - это следствие стремления полнее использовать несущие способности сечений стоек каркаса сообразно убыванию внутрениих усилий. Закономерность изменения сечений стоек, следовательно, и поэтажных жесткостей зависит от ряда конструктивных п вроизводственных факторов. Дать общую математическую формулировку этой закономерности, отвечающую всему разпообразию наменения поэтажной жесткости, невозможно. Поэтому, с целью упрощения, н перном приближении принимаем линейный закон убывания поэтажных жесткостей по высоте здания. При этом, если жесткость первого этажа

 $-a_1$ , а последнего  $-u_{n} = \alpha a_1$  (где  $\alpha < 1$ ), то жестокость k-го этажа (сила. визывающая единичное горизонтальное смещение этажа) будет:

$$a_k = f_k a_k \tag{2}$$

где

$$f_k = \bar{z} + \frac{n-h}{n-1} (1-\bar{z}),$$
  $(k-1, 2, ..., n)$  (3)

При абсолютно жестких ригелях динамическая расчетная схема эдания представится в виде невесомого ступенчатого консольного бруса, несущего и масс, сосредоточенных в уровнях перекрытий (рис. 1). Дифференциальные уравнения днижения масс имеют вид:

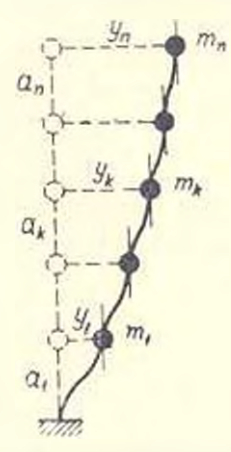


Рис 1. Расчетная схема зяяния

$$m_k y_k - a_k (y_k - y_{k-1}) - a_{k-1} (y_{k+1} - y_k) = 0.$$
 (4)  
 $(k = 1, 2, ..., n)$ 

Частным интегралом системы (4) является

$$y_k = C_k \sin \rho t$$
,

и для определения неизвестных амплитуд  $C_k$  получается система однородных алгебраических уравнений:

$$m_k p^* C_k - a_k (C_k - C_{k-1}) - a_{k-1} (C_{k-1} - C_k) = 0,$$
 (5) 
$$(k = 1, 2, \dots, n)$$

где Р-круговая частота свободных колебании.

При рабенстве поэтажно сосредоточенных масс  $(m_1 \ m_2 = \ldots = m_n = m)$  и учете зависимости (2) характеристический определитель мат-

(6)

рицы системы (5) запишется в виде:

тде  $\lambda = mp^n/a_1$  безразмерная частота свободных колебании. Очевилно, что частотное уравнение соответствует условию:  $\Delta_n(a, \lambda) = 0$ .

Для сокращенной записи матрицы (6) ес ненулевые элементы обозначим:

Влияние убывания поэтажной жесткости на вес этажа инчтожно и им следует пренебречь.

Раскрывая характеристический определитель матрицы  $[d_{kj}]_{a,a}$  по последнему столбцу, получим частотное уравнение в следующем виде:

$$\prod_{i=0}^{n-1} D_i = 0. \tag{7}$$

1000

$$D_i = D_{i+1} d_{i+1} - D_{i+2} d_{i-1} d_{i+2} d_{i+2} d_{i+2}$$
(8)

 $(i=0, 1, 2, \dots, n-1)$ , причем.  $D_n = 1$  и  $D_{n-1} = 0$ .

Используя (3) и (8), для зданий высотой до 20 этажей на ЭВМ с точностью в 10 — вычислены величины первых грех инзших корней частотного уравнения (7) при z = 1; 1/2; 1/4; 1/8.

Для оценки влияния убывания поэтажных жесткостей по пысоте здания на периоды его свободных колебаний рассмотрим отношение

$$\gamma_r = T_r/T_r^*, \quad (9)$$

где 7<sub>r</sub> первод r-го тона свободных колебаний при убывании поэтажных жесткостей по высоте здания;

 $T_{e}$ —то же, когда жесткости всех этажей равны жесткости первого этажа.

Через кории частотных урявнений выражение (9) запишется в виде:

$$y = y y_{ij} y_{ij} \tag{10}$$

где — кории частотного уравнения при равенстве жесткостей всех этажей ( $\alpha=1$ ).

По полученным значениям корпей и вычислены величины и Результаты вычислений показали, что величины и, будучи зависимыми от тона колебаний, при фиксированиых значениях и не зависят от этажности злания; имеющиеся небольшие расхождения в значениях и (не более ±1%) следует принисать точности вычислений.

В рассмотренном дианазоне наменения нараметра 2 зависимость » (σ) довольно хорошо аппроксимируется функцией

$$\gamma_r = 1 - \gamma_r \lg \alpha, \tag{11}$$

гле  $\chi_r$  коэффициент, зависящий от тона колебаний. Для первых трех инэших тонов значения  $\chi_r$  следующие:  $\chi_1 = 0.292$ :  $\chi_n = 0.588$ :  $\chi_2 = 0.648$ . При этом, расхождение между значениями вычисленными по формулам (10) и (11), не превышает  $3\%_0$ .

Полученная зависимость (11) позволяет внести в формулу (1) корректив, учитывающий влияние убывания поэтажных жесткостей по высоте здания на периоды его свободных колебаний. Таким образом, при лицейном законе убывания поэтажных жесткостей по высоте здания для определения периодов первых трех тонов свободных колебаний завний высотой до 20 этажей получаем формулу:

$$T_r = 2\pi (1 - \chi_r \lg \bar{z})(A_r + nB_r) \sqrt{\frac{m}{a_s}}.$$
 (12)

где  $a_1$  жесткость первого этажа; остальные обозначения те же, что и в выражениях (1) и (11). [Заметим, что формула (12) переходит в (1) при  $\alpha = 1$ .]

Для пыявления влияния убывания поэтажных жесткостей по высоте здания на формы его свободных колебаний, рассмотрим систему алгебранческих уравнений (5) относительно неизнестных амилитуд с при равенстве поэтажных масе и изменении жесткостей этажей по (2) Поскольку при нетривиальном решении системы (5) одно из ее уравнений является липейной комбинацией остальных, то, отбрасывая его (8 данном случае—первое) и принимая  $C_n$ —1, решаем оставнуюсь систему n-1 уравнений. При рассмотренных значениях нараметра и соответствующих им кориях уравнения (7) решение этой системи произведено на ЭВМ. По найденным значениям  $C_k$  нычислены коэффиниенты  $\tau_{thy}$  первых грех форм колебаний для зданий высотой до 20 этажей\*.

Анализ результатов вычислений показывает, что при одной и той же этажности формы колебаний в сильной степени зависят от значени параметра  $\alpha$ . На рис. 2 принедены формы колебании систем с 10-ю

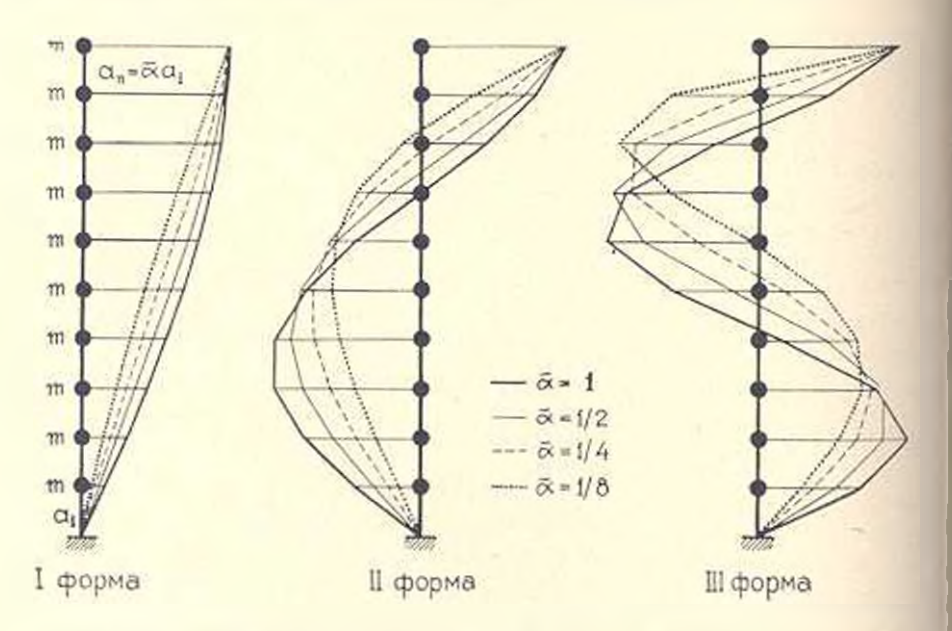


Рис. 2. Формы колебаний 10-этажного эдлиня при различимх эначениях а

степенями свободы, и, как вилно, убывание поэтажных жесткостей сильнее сказывается на формах колебаний высших тонов; с уменьшением и пучности высших форм смещаются вверх по высоте здания. Однако, обоснованный акализ влияния высших форм колебаний на общее напряженное состояние здания при сейсмических воздействиях

Результаты вычислений здесь не приводятся пвиду недостатка места.

можно произвести только при заданном законе движения основания, так как и зависимости от спектрального состава колсбаний грунта влияние отдельных форм будет различным. Иля конкретных 10-этажных зданий инже произведен такой апализ с пепользованием реальных акселерограмм землетрясений.

2. Анализ напряженного состояния зданий с убывающими но высоте поэтажными жесткостями. Беря за основу параметры реального 10-этажного железобетонного каркасного здания с жесткостями этажей, постоянными но его высоте (z = 1), и варьируя значениями параметра а, рассмотрены 3 варианта предполагаемых зданий с z = 1/2; 1/4; 1/8 при линейном законе убывания поэтажных жесткостей. При этом жесткость первого этажа оставляется пензменной равной жесткости исходного (эталонного) здания.

Каркас исходного здания состоит из 10 ноперечных двухиролеть вых рам с нараметрами: пролеты = = 6.0 м: высота ярусов  $l_1$  =  $l_2$  ... =  $l_{10}$  = 3.3 м: размеры поперечного сечения всех стоек = 40  $\times$  50 см; бетои марки 200 (E=265000 к/ см"). Веса масс, сосредоточенных внях перекрытий, следующие:  $G_1$ = $G_3$ = $\dots$ = $G_9$ =510m;  $G_{10}$ =615m. Периоды первых трех тонов снободных колебаний рассматриваемых зданий в их поперечном направлении, вычисленные по формуле (12), привелены в табл, 1.

Таблица 1

Тон	Периоды <i>сек</i> при значениях х							
<b>холеб</b> аний	1	1/2	1.4	1.8				
11 11 114	0.910   0.307   0.187	0+997 0+362 0+221	1:074 0:419 0:260	1+139 0+482 0+305				

С использованием акселерограмм четырех калифорнийских землетрясений\* интенсивностью в 7—8 баллов по методике, принеденной в [4], на ЭВМ вычислены максимальные значения упругих реакций рассматриваемых зданий (и их поперечном направлении) с учетом наложения первых грех форм колебаний. При этом для всех форм колебаний величина коэффициента внутреннего грения предположительно принята 7 0,12. На рис. З ириведены энюры максимальных эначений

В [2] показано, что при n>5 влиянием перавенства поэтажным масс в пределах 26-30% можно прецебречь и периоды и формы колебаний определять как для систем раввыми массами на всех этажах, принимом за величину поэтажной массы среднее прифистическое всех масс системы.

перерезывающих сил на все здание по трем и отдельным формам колебаний при акселерограмме № 1.

Анализ реакции показывает, что убывание поэтажных жесткостей приводит к уменьшению перерезывающих сил и выравниванию их значений по высоте здания. (То же имеет место и для максимумов изгибающих моментов в стойках каркаса, так как при абсолютно

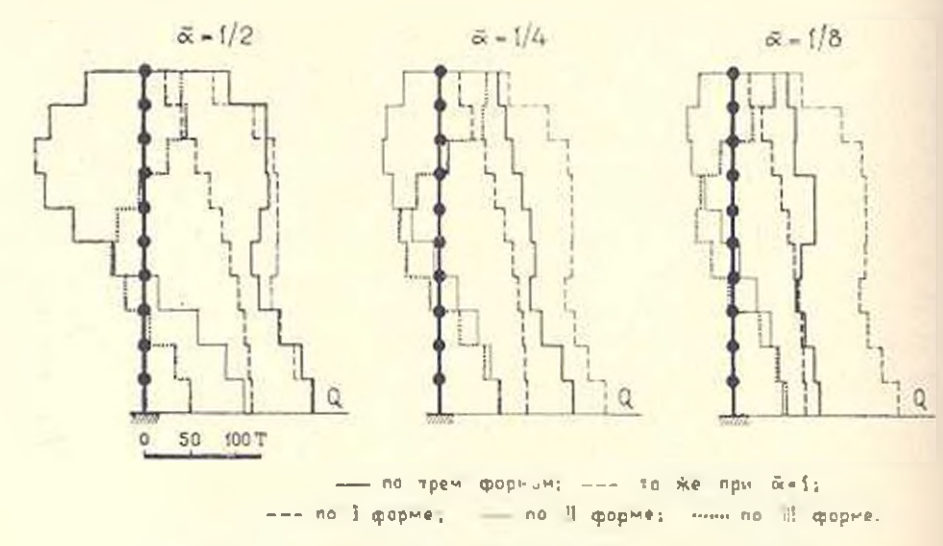
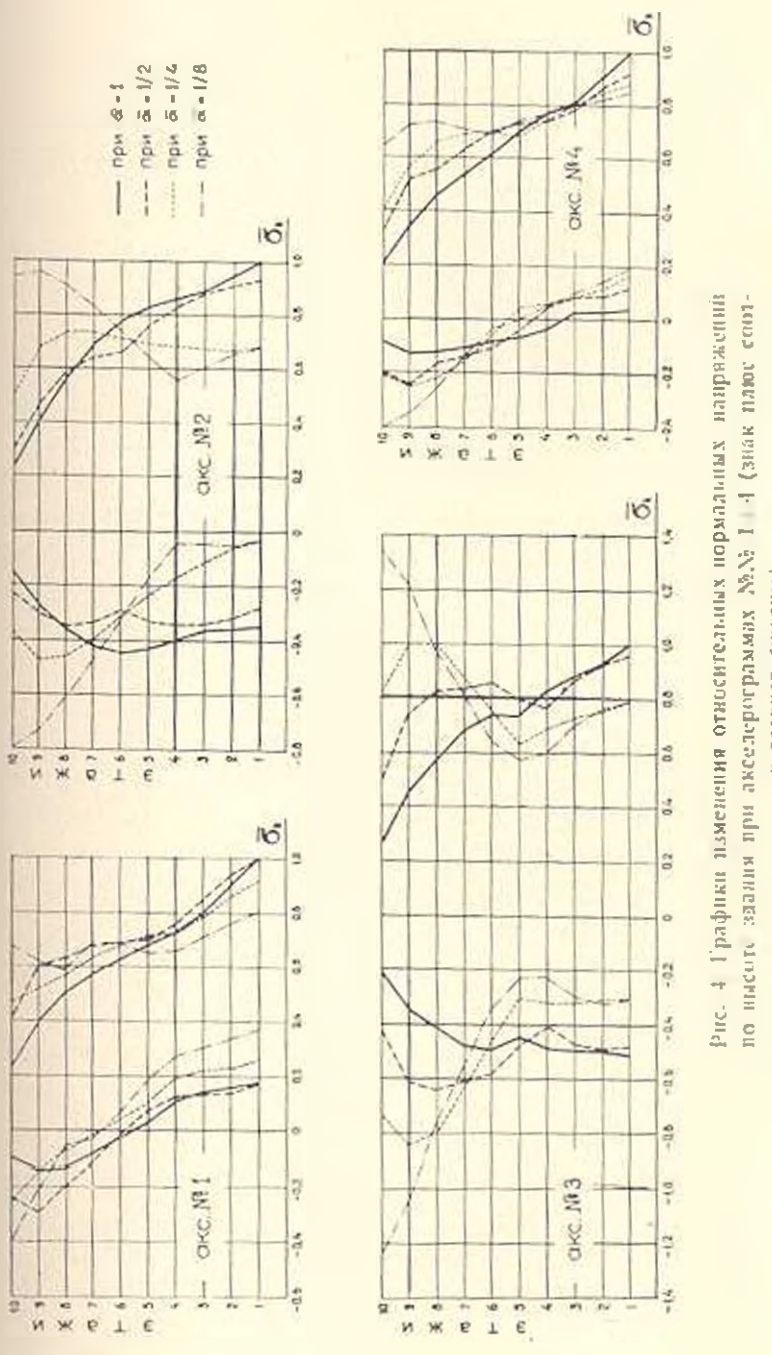


Рис. 3. Этюры перерезывающих сил по акселерограмме № 1.

жестких ригелях их значения отличаются от перерезывающих сил постоянным множителем.) Эта тенденция тем сильнее, чем меньше величина параметра х. Однако, уменьшение абсолютных значений перерезывающих сил гизгибающих моментов) в данном случае не может послужить критерием при оценке сейсмостойкости здания, так как убывание поэтажных жесткостей связано с уменьшением размеров поперечных сечений иссущих элементов каркаса—стоек, в то время, как величины продольных сил практически остаются без изменения Поэтому при анализе реакций правильнее будет оперировать не перерезывающими сялами (изгибающими моментами), а напряжениями, возникающими в элементах каркаса.

Аля определения напряжений в элементах железобетонного каркаса заранее должны быть известны параметры их сечений Поскольку цель настоящего анализа не определение истинных величин напряжений в бетоне и в арматуре, а сопоставление напряженных состояний здания по высоте при различных значениях нараметра то, дли упрощения задачи, можно пойти на определенное допущение—уподобить железобетон однородному материалу и для определения напряжений пользоваться формулами сопротивления материалов. Конечно, это упрощение вносит определенную погрешность, но, поскольку опо делается для сраннительной опенки напряженных состояний, то,



BETCHRYCT CMATHO)

по нашему мнению, относительное влияние этой погрешности на результаты анализа будет незначительным.

Жесткость k-го этажа пропорциональна сумме моментов инерций стоек соответственного этажа, поэтому, принимая ингрипу стоек всех этажей постоянной и используя (21, будем иметь:

$$F_k = F_1 f_A^* \quad \text{if} \quad W_k = W_1 f_A \,. \tag{13}$$

гле  $F_1$  и  $W_1$  соответственно илондадь и момент сопротипления сечения стойки первого этажа.

При сейсмическом воздействии стойки работают на внецентренное сжитие, Используя выражения (13) и результаты машинных вычислений, определены экстремальные значения напряжений в сечениях стост исех этажей при рассмотренных значениях —

Для сопоставления напряженных состояний зданий удобнее оперпровать не абсолютными значениями напряжении ( $z_k$ ), а относительными ( $z_k$ ), параженными через максимальное сжимающее напряжение  $z_{100435}$  возникающее в стойках перного этажа здания с равными жесткостями всех этажей (z 1) С этой целью для каждой акселерограммы вычислены значения  $z_k = z_k z_{10043}$ . По результатах вычислений построены графики изменения по высоте здания, принеденные на рис 4. Отметим, что на этих графиках действительных только те значения которые соответствуют уровням этажей (промежуточные значения лишены смысла).

Как видно из рис. 4, с уменьшением параметра и усиливается напряженное состояние здания—в особенности его верхией трети, гле относительные значения как максимальных, так и минимальных пормальных напряжений достигают неличии, больших, чем при равену стве поэтажных жесткостей. Аналогичная картина имеет место и для скалывающих напряжений. Очевидно, что совместное действие пормальных и скалывающих напряжений принедет к еще большему усиленаю напряженности верхину этажей. Это может создать опасность разрушения последиих.

Таким образом, результаты процеденного анализа показывают, чи уменьшение поэтажной жесткости по пысоте здания приводит и значительному изменению картины его напряженного состояния и к резкому усилению напряженности верхина этажей при сейсмических поздействиях. Целесообразность вознедения таких зданий будет обусловлена комплексом экономических и конструктивных соображений, и по-видимому, в отдельных случаях оно окажется выгодным при некотором конструктивном усилении стоек верхина этажей

#### 8.Ա. ԳՈՐՈՅԱՆ, Է. Ե. ԽԱՉԻՅԱՆ

«ԱՉՄԱՀԱՐԿ ԿԱՐԿԱՍԱՅԻՆ ՇԵՆՔԵՐԻ ՍԵՅՍՄԱԿԱՅՈՒՆՈՒԹՅԱՆ ՎԵՐԱԲԵՐՅԱԸ՝ ԵՐՐ ՀԱՐԿԵՐԻ ԿՈՇՏՈՒԹՅՈՒՆՆԵՐԸ ՆՎԱԶՈՒՄ ԵՆ ԸՍՏ ՇԵՆՔՒ ԲԱՐԶՐՈՒԹՅԱՆ

### Ամփոփում

Վերլուծուիկյան ենիարկելով բազմանարկ կարկասային շենջերի նաճախա կանությունների նավասարումները՝ երբ նարկերի կոշտություններն ըստ շեն թի թարձրության նվազում են դծային օրենքով, նոդվածում առաջարկվառ Լրանաձև, որը ճնարավորություն է ընձեռնում որոշել մինչև 20 ճարկ բարձ բություն ունեցող շենքերի աղատ տատանումների պարրերությունները։ Դիտ ված են նաև տատանումների ձևերը։

Այդպիսի ջենքերի սեյսմակայունությունը դնամատելու նպատակով կատարված է երկաթերնունեւ 10-մարկանի կարկասային շենքերի առաձգական ակազդեցությունների մամադրում՝ 7—8 բալլ ուժգնության չորս երկրաչարժերի ակսելերոդրամների և էՀՄ-ի օդտագործմամբ՝ տատանումների առաջին երեք ձևերի մաշվառքով։ Համադրումը ցույց է տվել, որ մարկերի կոչտության հվագումը բերում է վերին մարկերի լարվածային վիձակի ուժեզացման սեյսժիկ ադղեցությունների դեպքում։

#### ЛИТЕРАТУРА

- Горожь Т. А., Хачиян Э. Г. К изучению сейсмостойкости желелобетонных каркасных зданий понышенной этажности. Доканды Всесоюзного совещания по сейсмостойкому строительству и Алма—Але. Ерепап, 1967.
- Горожн Т. А. О илиянии перавенства поэтажных мясе на периоды и формы свободных колебаний многоэтажных зданий. «Илиестия АН Арм. ССР (серия 1 Н.)», т. XXII, № 1, 1969.
- Медведев С. В. Инженерная сейсмология. Госстройнуция, 1962.
- Гороля Т. А., Хичаян Э. Г., Аналил реакций многоэтажных каркаеных зданий на -сейсинческие воздействия по акселерограммам сильных лемяетрясений. «Пъвестия АН Арм ССР (серия Т. П.)», т. XXIV. № 4, 1971.

Տեխնիկական գիտութ, սեբիա

XXV. № 3, 1972 Серия технических наук

ГИДРАВЛИКА

### А. М. ГАСНАРЯН, Э. Л. МЕЛИКЯН

### О ПРОДОЛЬНОМ СМЕЩЕВАНИ ЖИДКОСТИ

Настоящее исследование касается влиявия гидродинамической обстановки на питенсивность массообмена в лвухфазном потоке, состоящем из жидкости и взвещенных частии.

Известно, что для станионарного процесса массообмена

$$G = \pi \Delta x = \pi W_k / \Delta x, \tag{1}$$

гле G - вес вешества, перешелшего из одной фазы в другую за единицу времени; z средний коэффициент массопередачи;  $f = W_B f - no$ верхность контакта между фазами в аппарате, имеющим объем Wisf среднее значение поверхности контакти в единице объеми; Ax =  $=x_{\rm e}-x$  разность концентрации растворенного вещества (движущая сила).

Ранее было показано [1, 2], что путем изменения направления потока и формы аппарата можно в широких пределах изменить объемиую концептрацию твердой фазы (ф), следовательно, и поверхность контакта (f) в анварате, Известно, что

$$f = 6\gamma : \sigma, \tag{2}$$

где д диаметр сферических частиц. Также известно [3], что с ростом э (вли /) уменьшается скорость стеспенного падения частиц, олределяемая выражением

$$C = KC_0(1 - \gamma)^n, \tag{3}$$

и, следовательно, уменьшается скорость омывання (относительная скоросты) частиц жидкостью:

$$C' = KC_0(1 - \varphi)^{n-1}. \tag{4}$$

Для иллюстрации приведем следующее: в области ламинарного режима показатель степени и составляет 4.72. При значениях ф 0,05 в 0.50 скорость омывания C соответственно будет  $0.83 kC_n$  и  $0.076 kC_m$ Пначе говоря, при увеличения с (или /) в 10 раз, скорость омывания частиц жидкой фазой уменьшится в 0.83:0.076=11 раз. На вервый взгляд кажется, что уменьшение скорости c' должно отрицательно влиять на коэффициент массопередачи г. и, следовательно, увеличение р при номощи соответствующих изменений гидродивамической обстановки должно иметь двоякое влияние на процесс массообмена: ускоряющее (веледствии роста f) и замедляющее (по причиве уменьшения C'). Отсюда возникает одна из задач наших исследований определение влияния C' (или концептрации  $\varphi$ ) на коэффициент  $\alpha$ . Отметим, что влияние C' на  $\alpha$ , как это ноказали наши теоретические и экспериментальные исследования, небольшое и во чистих случаях им можно пренебречь.

На интенсивность процесса также влияет степень продольного счешения жидкой фазы; смещение, которое приводит к уменьшению движущей силы  $\Delta x$ . Нужно полагать, что концентрация  $\varphi$  является одним из важных факторов, влияющих на это. Выявление этой роли  $\varphi$  явилось второй задачей наших исследований.

Настоящая статья посиящена только определению коэффициента продольного смешения и его связи с движущей силой  $\Delta x$ .

Коэффициент продольного смешения. Еще в 1944 году А. Н. Плановский и Д. А. Гуревич [1] подробно рассмотрели явление продольного смещения чистых жидкостей (в отсутствии взяесей) и дал определения иппарата идеального смещения (АПС) и аппарата идеального вытеснения (АПВ). Злесь, в несколько ином изложении, соответствующем нашим целям, остановимся на этих определениях.

Пусть аннарат / (рис. 1), емкостью V, заполнен жилкостью "А". По 2 начинается полача в аппарат жилкости "В", во всех соотношениях растворимой в "А". Она подается с постоянной объемной скоростью W. Пусть "В", войдя в аппарат, миновенно и равномерно растределяется по всему объему V, и выходящая через З жилкость вмеет такой же состав, какой имеется в аппарате в данный момент.

Пусть в данное миновение концентрация "В" в анцарате равна x. Через промежуток времени  $d\tau$  она станет (x+dx), а содержание "В" в анцарате станет V(x+dx). За время  $d\tau$  в анцарат поступило  $Wd\tau$  и ушло  $W(x-dx)d\tau$  жидкости "В". Поэтому

$$V(x - dx) = Vx \quad Wd^{\perp} - W(x - dx)d^{\perp}$$

Отсюда

$$\frac{w_5}{V} = -\ln(1-x). \tag{5}$$

Здесь мы рассмотрели аппарат идеального смешения (АИС)

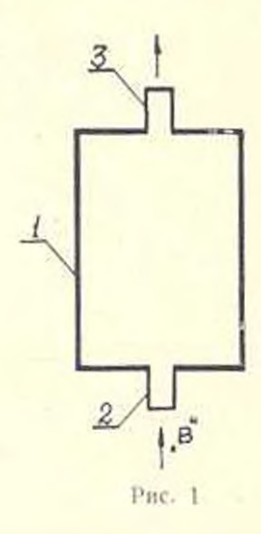
В аппарате идеального вытеснения (АНВ) жидкости «В» вытесняет «Ах как поршием, не смешиваясь. Жидкость «В» появляется в 3 только после полного удаления «А» на аппарата, т. е. когда  $W\tau/V=1$ .

На рис. 2 кривая I выражает  $x=f\left(\frac{W'\pi}{2}\right)$  для анпарата идеального смешения (АНС), согласии (5). Прямые 2-3-4 дают эту же связь для аппарата идеального вытеснения (АНВ). Кривая 5, занимающая промежуточное положение, представляет изменение x—для какого-либо реального аппарата.

Если в анпарат рис. 1 подана жидкость "В" объемом V, т. е  $W\tau/V = 1$ , то:

 при АИС концентрация "В" в аппарате и на выходе из нем будет

$$-\ln(1-x) = \frac{W\tau}{V} = 1$$
 a  $x = 0.633$ .



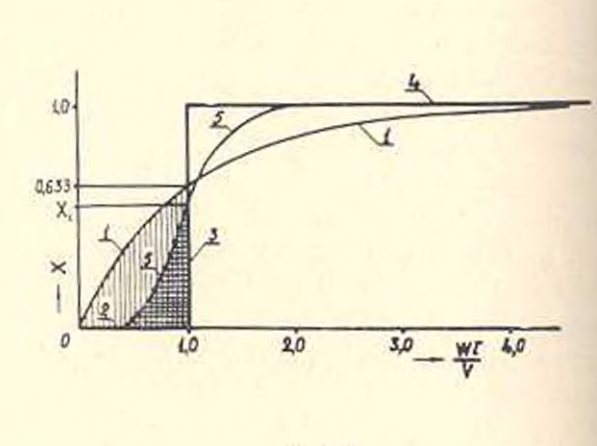


Рис. 2

Это означает, что я аппарате в рассматриваемый момент имеется жидкость «В» в объеме 0,633 V. По, так как в аппарат подано этой жидкости в объеме V, то ушедшее из аппарата количество «В» составит 0,367 V. На рис. 2 этот объем «В» выражается вертикально заштрихованной областью. Средняя концентрация ушедшей из аппарата жидкости «В» составит  $x_c = 0.367$ .

- 6. При АИВ, когда W: V=1, аппарат целиком заполнен жидкостью «В», а на выходе ее концентрация  $x_0=0$ .
- и. В реальном анпарате, когда W т V=1, концентрация «В» в различных частях анпарата будет разная, а на выходе составит некоторую x<sub>1</sub>. Изменение концентрации «В» на выходе нойдет по некоторой кривой 5, а объем ушедшего из аппарата компонента «В» определится площадью перекрестно заштрихованной области. Средняя концентрация х жидкости «В» в ушедшей смеси будет пропорциональна площади этой области.
- г. Соотношения средних концентраций x и  $x_c$  ушедшей из аппарата жидкости (при  $W\tau/V=1$ ), или соотношение площадей перекрестной вертикально заштрихованных областей, может служить мерилом степени близости данного реального аппарата к АИС. Обозначим это соотношение через 3 и назовем его коэффициентом продольного смещения:

$$\hat{\gamma} = \frac{x}{x_s} = \frac{x}{0.367} = 2.72 x.$$
 (6)

При пдеальном смещении 3—1. При пдеальном пытеснении 3—0. В реальном авпарат—3 имеет промежуточное значение между 0 и 1.

Зависимость движущей силы  $\Delta x$  от  $\beta$ . Пусть в аппарате рис. 1 висет место растворение некоторой соли, частицы которой равномерной взяесью заполняют весь аппарат и их убыль непрерывно компенсируется вводом новых частиц. Концентрация частиц  $\varphi$ , их удельная поверхность f, скорость полачи растворителя W, начальная  $(x_1)$  и ковечная  $(x_2)$  концентрации соли в растворителе постоянны во времени.

Допустим спачала, что процесс идет по режиму идеального вытескения, т. е.  $\mathfrak{F}=0$ , высота аппарата равна  $h_1$ , а изменение концентрации соли по  $h_1$  идет по кривой I (рис. 3). Очевидно, средняя движущая сила  $\Delta x_8$  будет:

$$\Delta x_{0} = \frac{x_{2} - x_{1}}{\ln \frac{x_{1} - x_{2}}{x_{S} - x_{2}}} = (x_{s} - x_{2}) - \frac{\text{mont}(x_{1} - x_{2} - 3 - x_{1})}{h_{1}}.$$
 (7)

Числитель второй слагаемой и (7) представляет собой заштрихованную площадь выше кривой / (назовем ее илощадью 1)

Теперь допустим, что аппарат переходит на режим идеального смешения, когда 3—1. Тогда, при тех же условиях и при постоянстве производительности, потребуется другая высота аппарата

$$h_{s} = \frac{\Delta x_{s} h_{1}}{\Delta x},\tag{8}$$

где 4x, средняя динжущая сила при АПС, равная первой слагаемой в (7):

$$\Delta x_c = x_s - x_s. \tag{9}$$

Отличие АНС от АНВ заключается именно в полной утрате второго слагаемого (завітрихованная площадь изчезает). Потери в средней движущей силе всегда составляют

$$\Delta x_{\rm n} = \Delta x_{\rm s} = \frac{x_{\rm s} - x_{\rm s}}{\ln \frac{x_{\rm s} - x_{\rm s}}{x_{\rm s} - x_{\rm s}}} = (x_{\rm s} - x_{\rm s}) = \frac{\text{n.tom.} \, 1}{h_{\rm t}}.$$
 (10)

Допустим, что в реальном процессе, когда 0 < 3 < 1, изменение концентрации в растворителе по высоте  $h_2$  идет по кривой 2. В этом случае потери в средней движущей силе, по сравнению с АНВ, определятся разницей между заштрихованными площадями выше кривой 1 (площадь II), а именно:

$$\Delta x_{n} - \Delta x = \frac{\text{BROUG. I}}{h_{1}} = \frac{\text{BROUG. II}}{h_{n}}.$$
 (11)

При  $\mathfrak{F}=0$   $\Delta x_{\mathtt{B}}-\Delta x=0$ . С ростом  $\mathfrak{F}$  площадь II уменьшается, а  $h_{\mathtt{A}}$  растет [согласно (8)], т. е. уменьшается второй член правой части (II). При АНС этот член станет нулем и придем к выражению (10).

Сравнивая рисупки 2 и 3 нетрудно заметить следующее: когда занитрихованная илощадь на рис. 2 достигает максимума (при АПС, когда  $\beta=1$ ), на рис. 3 таковая исчезает, и наоборот, когда на рис. 2 исчезает заштрихованная площадь (АИВ,  $\beta=0$ ), то на рис. 3 таковая достигает максимума. Это обстоятельство подсказывает вывод (строго педоказанный, по, но-видимому, близкий к истине) о том, что потери в средней движущей силе пропорциональны коэффициенту продольного смешения 3, т. с.

$$\frac{\Delta x_{\rm B} - \Delta x}{9} = \frac{\Delta x_{\rm B} - \Delta x_{\rm C}}{2}$$

или

$$\Delta x = \frac{(x_2 - x_1)(1 - 3)}{\ln \frac{x_3 - x_1}{x_3 - x_2}} + (x_4 - x_5) \, 3. \tag{12}$$

Таким образом, при известном коэффициенте смешения  $\beta$  по (12) можно определить движущую силу  $\Delta x$ .

О соотношении  $\Delta x_n / \Delta x_c$ . Если аппарат, работающий в режиме идеального вытеснения, имеет высоту  $h_1$ , то аппарат, действующий в режиме идеального смешения, при тех же  $f, x_1, x_2$  и W, должен иметь высоту  $h_3$ , определяемую по (8). Соотношение высот

$$\frac{h_x}{h_x} = \frac{\Delta x_x}{\Delta x_x} = \frac{(x_x - x_z) + \frac{0.0001.1}{h_x}}{(x_x - x_z)} = 1 + \frac{\frac{0.0001.1}{h_x}}{(x_x - x_z)}.$$
 (13)

Из (13) видио, что соотношение высот зависит от развицы  $(x_s - x_2)$  и с ее уменьшением оно резко растет,

Например, если  $x_1=0$ , а  $x_2=0.3$ , то соотношение  $h_3/h_1$  или  $\Delta x_n$   $\Delta x_n$  в зависимости от  $x_2$  меняется следующим образом

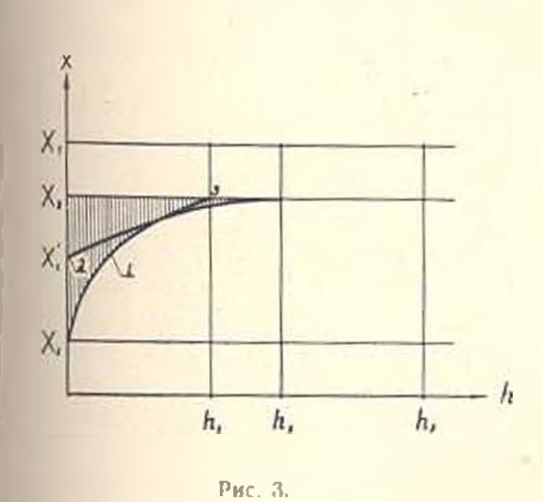
X <sub>2</sub>	0.05	0+10	0.20	0.25	0 • 27	0.29	0+295
$\frac{\mu}{\mu^3} = \frac{2x^\alpha}{2x^\mu}$	1.1	1 • 24	1.82	2,80	4505	8+50	14.5

113 изложенного следует, что резкое увеличение продольного смещения в реальном аниарате может, в определенных условиях, привести к многократному снижению производительности единицы его объема (или единицы его высоты). Поэтому изучение влияния концентрации развеси на коэффициент смешения 3 является важным.

Продольное смешение однородной жидкости. Продольное смешение частиц жидкости имеет место в любом нотоке, в том числе и в потоке однородной, химически индивидуальной жидкости. Рассмотрим наиболее простой случай такого смешения—смешение в ламинарном потоке.

Пусть по трубе рис. 4, в ламинарном режиме течет жидкость с равномерным объемным расходом W. Для определения степени про-

дольного смещения жидкости рассмотрим объем V=W, заключенный между сечениями I и II. В некоторый момент установившегося потока в горизонтальной плоскости I будут находиться определенные частицы жидкости. Жидкость, находящуюся в этот момент ниже сечения I, назовем "нижней", остальную — "верхней". Через 0.5 сек частицы, находившиеся в начале секуилы в плоскости I, окажутся на поверхности параболоиля I. Расход за это время составит  $0.5\,W=0.5\,V$ , средняя концентрация "нижней" жидкости в рассматриваемом объеме V составит  $0.5, 30.5\,V$ , сечение II еще не прошла "нижняя" жидкость



1 2 U<sub>0</sub> 2 U<sub>0</sub> 1 Proc. 4.

но вершина нараболовда уже дошла до этого сечения, имея высоту  $U_0$  2 ( $U_0$  осевая скорость потока). Через одну секунду рассматриваемые частицы окажутся на понерхности нараболовда 2, имеющего высоту  $U_0$ . Через сечение II прошла жидкость общего объема  $W\!=\!V$ , в том числе "нижняя" жидкость с объемом, равным объему верхней половины параболовда 2. Если бы имело место идеальное вытеспение, то в конце первой секунды объем межлу сечениями I и II оказался бы целиком заполненным "нижней" жидкостью, а через сечение II еще не прошла бы эта "нижняя" жидкость.

Объем параболонда 2 равен:

$$V = W = 0.5 U_0 \pi R^2. \tag{16}$$

Объем нижней половины параболонда 2 булст:

$$W_0 = 0.25 U_0 \pi (R^2 + r^2). \tag{17}$$

Объем верхней половицы:

$$W_n = W - W_n = 0.25 U_a \pi (R^2 - r^2).$$
 (18)

Величину раднуса r можно определить из параболического закона Стокса для даминарного потока. Струи жидкости, достигшие за секупду сечения  $\Pi_r$  имеют скорость  $0.5U_0$ , следовательно.

F. TH, At 3.

$$U = 0.5U_0 = \frac{P_1 - P_2}{4\alpha l} (R^2 - r^2) = k(R^2 - r^2). \tag{19}$$

Откуда, учитывая, что  $U_0 = M_0$  получается:

$$r^2 = 0.5R^2$$
. (20)

На (18) получается:

$$W_0 = 0.125 U_0 - R^2$$
 with  $W_0 = 0.25 W$ . (21)

Таким образом, при ламинарном потоке, при W7 V = 1, средняя конпентрация «инжией» жидкости в ушедшей через сечение 11 «смеси» составит согласно (21),  $x_4 = 0.25$ .

Коэффициент продольного смешения в этом случае имеет значительную величину и составляет

$$3 = 2.72x_3 = 0.68$$
.

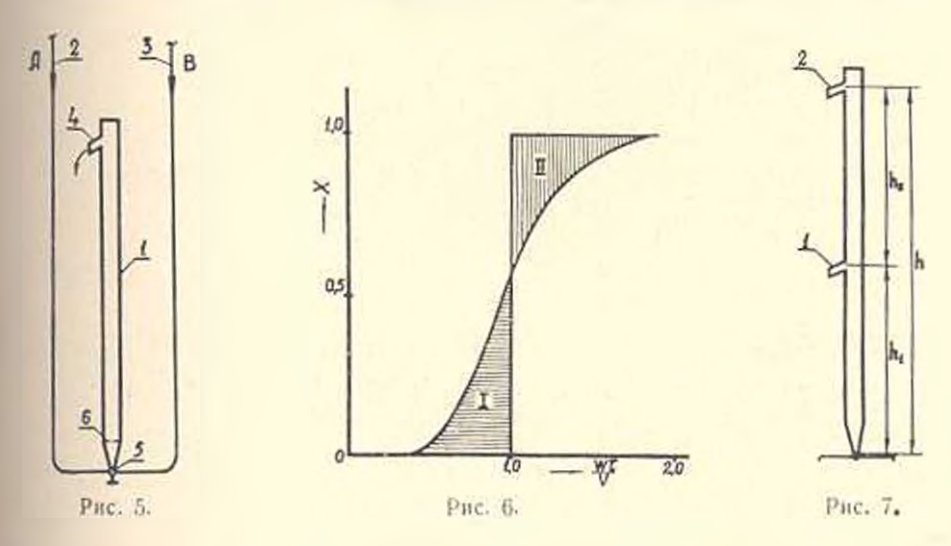
Методика определения 3. При разработке методики опытного определения коэффициента 3 мы исходили из необходимости получения сравнительных давных, г. е. данных о том, насколько наличие взвеси и ее концентрация с увеличивают или уменьшают степень продольного смешения слоев жидкости.

Нами были разработаны два способа экспериментального опреде-

ления величины 🎉 Первый из них состоял в следующем.

В стеклянную колонку 1 (рис. 5) через трубку 2 с постоянной объемной скоростью и подавалась жидкость «А», отбираемая в приемник через отвод 4. После достижения стационарного режима потока по колонке, быстрым поворачиванием тройного крана 5 поток жидкости «А» заменялся потоком жидкости «В» с той же объмной скоростью &. Одновременно с этим засекалось время, а прием жидкости из отвода переключался в пругой приемник. С этого момента начинался также отбор проб из отвода 4 (через определенные промежутки времени) до тех пор, пока из отвода стада сливаться стопроцептная жидкость «В». Далес, изятые пробы анализировались на содержание жидкости «В» и по полученным результатам составился график, пример которого приведен на рис. 6. В качестве жилкости «А» служила деаэрированная вода комнатной гемпературы, а жидкостью «В» служили растворы чистой поваренной соли и воде, с той же температурой. На рис. 6 по осн абециее отложено количество жидкости «В», подавное в колонку во время опыта, выраженное через объем колонки V, по оси ординатконцентрация жилкости «В» в сливе из отвода 4. Петрудно заметить, что горизонтально заштрихованная область 1, представляющая собой х в выражении (6), должиа быть равна вертикально заштрихованной области II, представляющей собой объем жидкости «А» (выраженный в долях объема колонки V), задержанный в колонке после водачи в нес жидкости «В» и объеме V. Значение х определено как среднее арифметическое площадей областей I и II. Значение коэффициента з определелено по (6).

При опытах с наличием извеси навеска частиц кварцевого песка предварительно засыпалась в колонку, на сетку 6 (рис. 5). При подаче жидкости «А» частицы переходили во извесь и оставались в таком



состоянии до конпа опыта Павеска частиц в скорость жилкости W подбирались так, чтобы при опыте почти вся колонка до отвола 4 была заполнена равномерной взнесью. Песок для опытов брался по нозможности монодисперсный; узкая ситовая фракция подвергалась многократной гидросепарации для улучшения степень монодисперсности.

Второй метод определения з отличался от описанного тем, что анализ состава вытеклющей из отвода 4 жидкости производился непрерывно, при помощи полярографа. Каломельный и канельно-ртутные электроды помещались в отводе 4 специальной коиструкции. Жидкостями «А» и «В» служили, по-прежиему, вода и растворы поваренной соли. Фоном служила соль кадмия. Разработка деталей метода, его осноение и применение осуществлялись самой активной помощью Айказяна Э. А и Исабекяна С. Е., за что анторы выражают свою глубокую признательность. Второй метод служил, и основном, как контроль для первого метода.

Определение 3 для разных участков аппарата. В колонке (рис. 7) коэффициенты смешения 31 и 32 для участков и h1 могут быть различными. При определения 3 по вышеописанному способу, можно утверждать, что так как на участке имеются факторы, вызывающие местное, более интенсивное смещение обеих жидкостей. Такими факторами являются: внезанное переключение потоков, наличие тройного крана, расширение потока жидкости до днаметра колонки, наличие сетки винзу колонки и другие. Кроме гого, установление окончательной эпюры скоростей, как известно, наступает после прохождения определенного пути, считая с места входа, Очевидно,

что местные эффекты смешения пакладываются на истинное значение 3 колонны, искажая и увеличивая его.

Коэффициент  $\beta_1$  может быть определен так: снячили опытом находят  $x_1$ , отобряв жидкость через отвол I, а затем, закрывая отвол I и отбирая жидкость через отвол 2, определяют x для всей колонны высотой h, xV будет объем жидкости  $_nB^n$ , провикшей в жидкости  $_nA^n$ , при прохождении  $_nB^n$  до отвода 2 (V—объем колонки до этого отвода),  $x_1V_1$ —то же самое, при прохождении  $_nB^n$  е начала колонки до отвода),  $V_1V_2$ —то же самое, при прохождении  $_nB^n$  е начала колонки до отвода). Очевидно, что  $_nV_2$ — $_nV_3$ — $_nV_4$  представляет собой объем  $_nB^n$ , проникшей в  $_nA^n$  на пути  $_nV_3$ — $_nV_4$  представляет собой объем  $_nB^n$ , проникшей в  $_nA^n$  на пути  $_nV_4$ — $_nV_4$ 

$$x_2 = \frac{x \, V - x_1 \, V_1}{V_2} \tag{22}$$

В (22) все велячины, входящие в правую часть, определяются опытом. Зная  $x_0$ , по (6) определяется  $\frac{x_0}{2}$ . Аналогичным способом можно определять  $\frac{3}{2}$  для любого участка колонны (анцарата).

Инетитут органической химин АН Арм, ССР Поступило 24. V 1971

H. C. BRUARCERY, F. R. CERPEARY

## ՀԵՂՈՒԿԻ ԸՆԴԵՐԿԱՅՆԱԿԱՆ ԽԱՌՆՄԱՆ ՎԵՐԱԲԵՐՅԱԼ

# Ամփոփում

Հողվածը վերաբերում է մասսափոխանակման ինտենսիվուի<mark>կան վրա</mark> Տիդրողինամիկական իրադրուիկան ազդեցուիկան ուսումնասիրությա<mark>նը երկ</mark> ֆազ Հոսըում, որը բաղկացած է հեղուկից և նրա մեջ կախված պինդ մաս Նիկներից։

Առաջարկված է ընդերկայնական խառնման գործակից հասկացությունը և արված է նրա բանակական ընդորոշումը Շարադրված է այդ դործակցի ժեւ ծության փորձարարական նղանակով որոշման մեխողիկան և տեսականորեն որոշված է նրա արժերը համասեռ հեղուկի լամինար շարժման ժամանակ Բացահայտված է ընդերկայնական խառնման դործակցի ազդեցությունը շարժիլ ուժի միջին արժերի վրա մասսափոխանակման ապարատում։

### JHIEPATYPA

- 1. Гаспарян А. М., Меликин Э. А. ДАН Арм. ССР, XXXIII, № 1, 1961.
- Гаспарин А. М., Меликин Э. А. ЖПХ, т. XXXVI, 1963.
- 3. Гиспарян А. М., Икарян И. С. «Известия All Apm. ССР (серия 1. 11.)», г. XV, № 2, 1962
- 4. Планопекий 4. Н. «Химическая примышленность», № 5, 1944.
- Илоновский А. И., Гурения Д. А. Аппаратура промышленности полупродуктов и красителей. Госкимиздат, 1961.

Серия технических наук

НАУЧНЫЕ ЗАМЕТКИ

### А. И. САГОЯН, К. Г. БАБАДЖАНЯН

## ОБ ОПТИМАЛЬНЫХ ПРОЦЕДУРАХ ПОНСКА ИЕИСПРАВНОСТЕЙ!

За последнее десятилетие вышло много статей, носвященных вопросу построения оптимальных процедур поиска неисправностей. В них рассматриваются различные критерии оптимизации процедуры поиска, предполагаются различные допущения и ограничения и получены различные методы решения задачи. Вследствие отсутствия общего обзора этих методов, не четко представляются их общность и различия и место каждого из них в вопросе построения оптимальных процедур поиска неисправностей.

В настоящей работе сделана попытка несколько систематизировать ранее полученные результаты и указать вопросы, которые гребуют дальнейшего рассмотрешия.

Прежде чем перейти к рассмотрению поставленной задачи, введем обозначения, поскольку в различных работах один и те же величины обозначены по-разному:

N-число компонентов системы;

 $P_i$ —вероятность неисправности t—го компонента системы (i=1, 2, . . . , N);

ч-стоимость проверки и го компонента системы;

-вероятность положительного исхода проверки і го исправного компонента (т. е. і в исправный компонент в результате проверки признан исправным);

проверки і-го неисправного компонента (т. е. і й неисправный компонента (т. е. і й неисправный компонент в результате проверки признан неисправным);

7—стоимость общей проверки системы на работоспособность.
Здесь предлагаются пять признаков, по которым производится систематизация рассматриваемых работ:

1. Количество критериев оптимизации, принятых автором.

2. Количество неисправностей, предполагаемых в объекте диагностики.

<sup>\*</sup> В порядке обсуждения.

- Неходные данные, необходимые для решения задачи по данному методу.
  - 4. Достоверность результата диагностики.
  - 5. Связи между отдельными проверками

Неходя на вышеналоженного, построева таблина 1, в строках которой проставлены номера работ (см. список питируемой литературы\*), а в столбцах помера няти предложенных признаков; причем, каждый столбец разбит на два подстолбна в зависимости от отношения метода, рассматриваемого в работе к данному признаку. Тогда на пересечении — строки и j-го подстолбца (k=1, 2, ..., 9; j=1, 2,..., 10) проставлен знак + , если методу, взятому на k-й работы, присуще определение, стоящее в верхней строке j-го подстолбца. В противном случае клетка (k, j) пустая. После знака и клетке может быть дополнительное пояснение. Например, в клетке (5, 5) стоит обезначение + ( $P_i$ ,  $\gamma_i$ ). Это означает, что для применения метода, взятого из [5], необходимо знать  $P_i$  и = (для всех i = 1, 2, ..., N).

Tabauua l

		№М и определение признака									
		1 1		5	3		4		5		
New pager	Один кретерий	Несколько критернев	Единичная не- исправность	Крагизя веис-	Параметти	Паражетры неизвестны	Неопределён- ность проверок не допуск.	Неопределен- ность проверок допуск.	Проверки не- зависимы	Проверки за-	
3 4(1) 4(2) 4(3) 5 6 7 8 9(1) 9(2) 9(3)	+ ++++++	(2критер) (4критер) (4критер) - (4критер)	+++++	++++	$ \begin{array}{c} \tau_l  \varepsilon_l  \overline{\tau}_{l+1} \\ - \left( p_l  \tau_{l+1} \right) \\ \gamma_l - \varepsilon = 1 \right) \\ \left( p_l  \tau_{l+1} \right) \\ - \left( p_l  \tau_{l+1} \right) \\ + \left( p_l  \tau_{l+1} \right) \\ \left( p_l  \tau_{l+1} \right) \\ \left( p_l  \tau_{l+1} \right) \\ + \left( p_l  \tau_{l+1} \right) \\ \left( p_l  \tau_{l+1} \right) \\ \left( p_l  \tau_{l+1} \right) \\ - \left( p_l  \tau_{l+1} \right) \end{array} $	$(p_1, \tau_\ell)$	++++ ++++	+(Me>2) $+(Me>2)$ $+(Me>2)$ $+(Me>2)$ $+(Me>2)$ $+(Me>2)$ $+(Me>2)$ $+(Me>2)$	++++++++++	+++	

Для наиболее полного апализа таблицы следует сделать несколько замечаний.

 а) Желательно рассматривать несколько критериев. Тогда, как указано в [9], при совпадения процедур поиска, оптимальных в емысле различных критериев. для ностроения программы поиска можно

Если в данной работе рассматриваются несколько мегодов, то им отводятся отдельные строки:  $k(l_1),\ k(l_2),\dots$ ; гле k-номер данной работы.  $l_1,\ l_2,\dots$ —номера соответствующих методов.

критерий, позволяющий наиболее просто рассчитывать выбрать оптимальную процедуру.

- б). В современных сложных системах вероятность кратных неисправностей большая. Поэтому методы для отыскания таких неисправностей, представляющих особый интерес, эффективнее методон, ограничивающихся рассмотрением лишь единичных неисправностей.
- и). Как правило, исходиыми данными для востроения оптимальной процедуры поиска в большинстве случаев являются Р, и ч. Даже приближенные вычисления этих параметров сопряжены с известными грудностями [1], [6], [8], Поэтому остественнее считать более сильными методы, которые требуют меньше дагных об объекте диагностики.
- г). Современные устройства контроля сами являются сложными техническими объектами, в работе которых возможны сбои. Это приводит к неопределенности проверок объекта плагностики, в результате которой исправный компонент может быть ощибочно поянят за неисправный, и наоборот. Поэтому большим достоинством обладают методы, учитывающие такие исопределенности.
- д). Если объект диагностики предполагается состоящим из функдионально связанных элементов, то представляются лучиным методы. учитывающие эти связи. Тогда проверка какого-либо компонента дает информацию о состоянии еще нескольких из непроверенных компонент. что позволяет исключить возможность неисправностей целой совокупности этих компонент, т. с. их проверку,

Учитывая вышеприведенные замечания, при просмотре табл. 1 можно заметить, что метод, обозначенный в правом подстолбие у-го столоща ( >=1, 2, ..., 5), предпочтительное метода, имеющего обозначение в левом полстолбце того же столбца.

Введем коэффициент эффективности фыл.

О для нустых клеток; 1 для заполненных клеток, принадлежаних девым подстолбиам;
2 для заполненных клеток, принадлежащих правым

Отеюда, иля каждого метода, взятого из работы с номером к. можно вычислить суммарный коэффициент эффективности:

$$D_k = \sum_{j=1}^{10} d_{kj}$$
.

Например, для k=6

$$D_{d} = \sum_{j=1}^{n} d_{dj} = 1 + 0 - 0 - 2 - 1 - 0 - 0 - 2 + 1 - 0 = 7.$$

Очевидно,  $D_{k_{\max}} = 10$  (для любого k), что соответствует случаю, когда для данного к все заполнениме клетки принадлежат правым подстолбцам.

Из таблицы видно, что наибольшее  $D_k$ =7 предлагают [4] (метод 2), [5:7], [9] (метод 2). Однако, это не значит, что другие методы уступают перечисленным. Достоянства таблицы в тругом: а) таблица ноказывает возможные пути дальнейшего повышения эффективности данного метода  $D_k + D_{km,x}$ , б) позволяет выбрать наиболее подходящий метод для заданного объекта цвагностики. Кроме гого, таблица может расширяться за счет предложения повых методов, а также признаков, характеризующих эти методы.

Одним на авторов в отдельной работе коэффициент эффективноств  $D_*$ =7 доведен до  $D_*$ =8 за счет перемещения знака  $\pm$  на клетки (5, 7) в клетку (5, 8).

В заключение следует отметить, что здесь рассматривались работы наиболее характериые (по нашему мнению) для построения оптямальных процедур поиска.

ЕрПН им. К. Маркса

Поступило 22. ХН 1971

#### -- ЛИГЕРАТУРА

- Firstman S. J., Glass B. Optimum search routines for automatic fault location, Operation Research, 1960, vol. 8, № 4, p. 512–523.
- Старонероз О. В. Об однов задаче понека Теория вероятностей и ее применения, 1963, т. VIII. вып. 2.
- Любатов Ю. В. Оптимальная процедура докали «внии неисправности в модулярные вашкой радиоэлектронной системе «Изи. МІ СССР. Техническая киберистика», 1964. № 4.
- Hochn A. I. Saltz. Mathematical Model for Determination of Efficient Troubleshooting Routes, IRE Transactions, 1958, PGRQC—13, July.
- Киншт И. В. Об однон процедуре поиска неисправностей «Автометрия», 1965, № 3.
   Winter В. В. Optimal Diagnostic Procedures, IRE Transactions, 1960, RQC-9, №3.
- Brute I. D., Johnson R. A., Kletsky E. I. Diagnosis of Equipment Fathers, IRE Transactions, April, 1960, PROC 9, 284.
- Kletsky L. L. An Application of the Information. Theory to Failure. Diagnosis, IRE Transactions, December, 1960, RQC 9, 28-3.
- 9 Киншт Н В О критериях опънмилации процесса поиска неисправностей. «Нав СО АН СССР, сер. техн. паук», 1965, № 10, вып. 3.

опан и скорости итерации в расчетох элекзаческих режимом внергосистем Алони I Е. Изпестия АН Арм. ССР (серия Т. Н.)», т. XXV, № 3, 1972, 3—10.

Предлагается влеоритм для исследования сходимости и скорости втероции в расчетах установинныхся режимов электрических систем Приволятся сведения и программе расчета на ЭВМ «Урал—11Л», реалинующей предлагаемый алгоритм.

Библ 7 назв.

YAK 621, 313 333 752

Модель вибрации асинхронного пвигателя. Бровман Я. С., Демирчян К. С., Шмугер С. 1. «Известия АН Арм. ССР. (серин Т. Н.)», т. ХХУ, № 3, 1972, 11—18.

Сединых познини рассматривается спектр вибраций, порожденных лефектом шариководиненников и системы кротор поле статор» асинхронного двигателя. Путем применения дикретного преобразования Лапласа лан смещенных решетнатых функций устанавливается зависимость спектра (тирмомического ряда эллинса вибрации) от параметрои дефекта при попущении ососредоточенности силового поля.

**И**ал. 3. Библ 3 назв.

VJIK 62 -- 585. 11

Стиржневые механизмы для носпроизведения сложного движения объекта. Егишин К. М., Саркисян Ю. Л. «Навестия АН Арм ССР (серия Г. Н. р., т. XXV № 3, 1972, 19—29.

Предлагается общий метод образования книематических схем стержнены механизмов, поспроизводящих сложное движение объекта. Для различных видов присоединяемых к объекту звеньев в векторной форме видучены выражения условий связи, издасаемых этими зненьями. Комбилируя разные присоединяемые звенья, найдены и систематизированы искомые стержненые одноподнижные механизмы со сложным движением ведомого звена. Приводятся основные схемы пространственных и влоских шарнирым механизмов, осуществляющих криволицейно-поступательное занжение объекта Описываются некоторые современные применения рассиприваемых механизмов.

Гвбл 2, Илл, 3, Библ, 7 назв.

VIIK 62-232 1+621 827. 1

Сингез пространственного пятизвенного механизма по известным дискретным положениям шатунной гочки. Шахбазян К. Х., Гаранян С. Б. «Известия АН Арм. ССР (серия Г. 11.)», т. XXV. № 3, 1972, 30—34.

Изложен синтез пространственного пятизвенного механизма по известным эпекретным положениям шатунной точки Показако, что в общем случає задача решима для семи положений. Для пяти положений получено одно уравнение, являющееся основным расчетом при изложенном слособе синтеза.

Нал 1. Библ. 8 назв.

О сейсмостойкости многоэтажных каркасных зданий с убывающими по высоте поэтажными жесткостями. Гороян Т. А., Хачиян Э. Е. «Известия АН Арм. ССР (серия Г. Н.)», т. ХХУ, № 3, 1972, 35—43.

Анализируя частотные ураинении многоэтажных каркасных зданий с ябсолютно жесткими ригелями при линейном законе убывания жесткостей этажей по высоте элания, предложена формуля, позволяющая определять перноды первых трех инэших гонов свободных колебаний таких эланий высотой до 20 этажей Рассмотрены формы колебаний.

С целью оценки сейсмостонкости зданий с убывающими по высоте поэтажными жесткостями, проянализированы напряженные состояния конкретных 10-и вжных железобетонных каркасных зданий с использованием икселерограмм четырех калифорнийских землетриссиий интенсивностью в 7—8 баллов и ЭВМ. Отмечается, что убывание поэтажных жесткостей приводит к резкому уселению напряженного состояния верхних этажей при сейсмических воздействиях.

Нлл. 4. Таба. І. Биба. 4 нлав.

УДК, 532, 517, 2+532, 542

О породольном смешении миокости Гаспярян А. М., Меликин Э. А. «Известия АН Арм. ССР (серия Т. 11.)», т. XXV, № 3, 1972, 44—52.

В статье предложено ноинтие коэффициента продольного смешения и дано его количественное ипределение. Изложена методика экспериментального определения величины этого коэффициента и теоретически определена его величини в ламинарном ногоке однородной жилкости. Определено влияние коэффициента продольного смещения на среднее значение движущей силы в массообменном инпарате.

Илл. 7. Библ. 5 парв.



ВФ 01737, Подинсано к печати 24/Х 1972 г. Тираж 510. Над. 3807.

Закал 136 Формат бумаги 70×1081/16. Печ. л. 3,75. Бум. л. 1,88. Усл. печ. л. 5,25. Уч. над. листов 4,25.

# # A 4 U 5 9 U 5 A 5 B 8 B 15 G

## Էներգետիկա

8	. Աղոնգ, Էենթգահամակարգերի էլնկտրական ռեժիմների մաջվարկներում իտերա 	3						
Էլեկտղատեխնիկա								
	Ս. Բոս <mark>վման, Կ. Ս. Գեմիոնյանի, Ս. Վ. Շմուտև», Ապատինքարոն անկարար</mark> վորության և հայարժիչի վորել	11						
	15 և ր ե (i ա շ ի ն ո ւ թ լ ո ւ ն							
%, II	, նդիշյան, Յու. է, Սաշգոյան, <i>Օրյեկտի բարդ լարժում վերաբատգրող լծակայի</i> ն <i>ժեխանիցժներ</i>	15						
%, h.	. Շանբազյան, Ս. Բ. Գառանյան, Տարաժական մեցողակ մեխահիդմի սինքերը ըստ չարժաքնային կետի Տայտնի դիսկրետ դիրըհրի	30						
	<b>Շինարարակա</b> ն մհիսանիկա							
8. II.	. Գոշոյան, է, և, հաջիլան, Բազմաքարկ կարկառային շենրերի սելոմակայության վերաբերյալ՝ երբ քարկնրի կոյտությունները նվագում են ըստ չենրի բարձրության	35						
	Հ ի դ <b>ը ա վ</b> լ ի կ ա							
Ik. 11	ք, Գոոպասյան, է, Ա. Մելիքյան, <i>Հեղուկի ընդերկայնական խառնվան վերաբերյա</i> յ	1:						
	Գիտական նորեր							
<b>北</b> 1	. Սաղոյան, Կ. Գ. Քաբաշանյան, հեռաբրիհությունների փետրվան օպտիմալ պրո- ցնղությաների վերաբերյալ	5.8						

# СОДЕРЖАНИЕ

## Энергетика

Г. Т. Адонц, К исследованиям сходимости и скорости итерации в расчетах электрических режимои энергосистем	
Электропехинка	
Я. С. Брооман, К. С. Демирчин, С. Л. Шмитер Модель вибрации асинхронного улектроднигателя	1
Машиностроение	
Е. М. Египан, Ю. Л. Саркисян. Стержневые механазмы для воспроизведения сложного движения объекта	1!
К. Х. Шахбалян, С. В. Гаринян. Синтел пространственного пятилиенного механиз- мя по известным дискретным положениям цатунной точки	3(
Строительная механика	
<ul> <li>Т. А. Гороян, Э. Е. Хачиян. О есйсмостовкости многоэтажных каркасных зданий с убывающими по высоте поэтажными жесткостями.</li> </ul>	3
Гидраелики	
А. М. Гаспарян. Э. А. Меликин. О продольном смещении жидкости	4
Паучные заметки	
А. И Сагоян, К. Г. Бабад wannu. Об оптимя, вных процедурах понека пенеправ- ностей	50